



M Ű E G Y E T E M 1 7 8 2

Budapesti Műszaki és Gazdaságtudományi Egyetem  
Villamosmérnöki és Informatikai Kar  
Szélessávú Hírközlés és Villamosságtan Tanszék

A Föld körüli, űrbéli rádiófrekvenciás  
szennyezettség ábrázolása a SMOG projekt  
mérései alapján

TDK-dolgozat

**Markotics Boldizsár, Takács Donát**

Konzulens: Dr. Dudás Levente

2020. október 26.

# Tartalomjegyzék

<b>1. Bevezetés</b>	<b>5</b>
1.1. PocketQube műholdak	5
1.2. Az SMOG-P és az ATL-1 elsődleges küldetése	5
1.3. A missziók lefutása	6
1.4. Hardver	7
1.5. Földi állomások	8
1.6. A dolgozat felépítése	8
<b>2. Adatfeldolgozás</b>	<b>10</b>
2.1. Adatok letöltése az SQL szerverről	10
2.2. Előszűrés, összevonás	12
2.2.1. Térbeli megfontolások	12
2.2.2. Frekvenciatartománybeli megfontolások	14
2.2.3. Érvényesnek tekintett mérések kiválasztása, összevonás	14
2.3. RSSI-átlagérték meghatározása egy frekvenciasávra	15
2.4. Interpoláció gömbfelületen	15
2.5. Ábrázolás	17
2.5.1. Áttérés ikozahedrális hálóról síkfelületre	18
2.5.2. A mérési pontok térbeli eloszlása	18
2.5.3. RSSI-értékek Voronoi-diagramja	19
2.5.4. Folytonos eloszlású RSSI	20
2.5.5. Szintvonalas ábrázolású RSSI	21
2.6. Az adatfeldolgozás paraméterei	22
<b>3. Webalkalmazás</b>	<b>23</b>
3.1. Az alkalmazás felépítése	24
3.1.1. Stíluslapok	24
3.1.2. THREE.js	24
3.2. Adatfájl beolvasása	27
3.3. Adathalmaz generálása	27
3.3.1. Méréspontok	27
3.3.2. Koordináta rendszer váltás	28
3.3.3. Föld és szmogtérkép gömbfelület	29
3.4. Felhasználói felület	31
3.4.1. A menü	31
<b>4. Kitekintés</b>	<b>33</b>
4.1. Az adatfeldolgozási lánc jövője	33
4.1.1. Adatfeldolgozás fejlesztési lehetőségei	33

4.1.2. Weboldal fejlesztési lehetőségei . . . . .	34
4.2. Az eredmények alkalmazhatósága . . . . .	34
<b>A. SQL lekérdezés</b>	<b>41</b>
<b>B. Adatfeldolgozás implementációja</b>	<b>42</b>
B.1. Gyakran használt metódusok . . . . .	42
B.2. Fő szkript . . . . .	51
B.3. Általános textúrák generálása . . . . .	52
B.4. Frekvencia-tartományra vonatkozó textúrák generálása . . . . .	55
<b>C. Weboldal</b>	<b>59</b>
C.1. Weboldal forráskódja . . . . .	59
C.2. Weboldalhoz tartozó stíluslapok . . . . .	68

# Kivonat

2019. december 6-án állt pályára a műegyetemi fejlesztésű második és harmadik magyar műhold, a SMOG-P és az ATL-1. Mindkettő fedélzetén helyet kapott egy-egy rádiófrekvenciás spektrumanalizátor, melyek segítségével első alkalommal került megmérésre a Föld körüli pályán érzékelhető, a felszíni digitális TV adók által az űrbe kisugárzott rádiófrekvenciás jelek erőssége. Dolgozatunkban bemutatjuk, hogy hogyan készítettünk a nyers, űrből kapott adatokból két- és háromdimenziós rádiószmog-térképeket.

A műholdak kis mérete és korlátozott teljesítménye miatt azokon nem kapott helyet orientációsabályozó-rendszer, a fedélzeti antenna pedig jelentős iránykarakterisztika fluktuációval rendelkezik, ezért erősen szelektálni kellett a mért adatokat. A mérési pontok térbeli helyzetét, sűrűségét a műhold pályája és a földi állomással való kommunikáció sáv szélessége is korlátozta, így jelentős térbeli interpolációra is szükség volt. A távolsággal inverz négyzetesen súlyozott interpolációt a mért RSSI értékek frekvenciatartománybeli átlagából visszszámolt teljesítmény-értékeken végeztük. Ennél figyelembe kellett venni, hogy a mért pontok gömbfelületen helyezkednek el, így az interpoláció egy megfelelően sűrű ikozahedrális hálón történt.

Továbbiakban az immáron szűrt, interpolált adatok látványos megjelenítése volt a cél. Ezt egy JavaScript technológián alapuló webalkalmazás segítségével értük el. Ez a feldolgozott adathalmazt alapján különféle módokon (diszkrét mérési pontok, folytonos interpolált eloszlás, kontúrvonalak stb.) tudja megjeleníteni. Az oldal interaktív, így a felhasználó képes frekvencia szerint szűrni az eredményeket, valamint képes befolyásolni a megjelenő objektumok egyes tulajdonságait. A megjelenítéshez a WebGL alapú THREE.js nevű könyvtárat vettük igénybe.

Munkánk eredményeként egy teljes adatfeldolgozási lánc készült el, amely a Föld körül keringő zseb-műholdak által szolgáltatott nyers mérési eredményekből a saját fejlesztésű program és weboldal segítségével jeleníti meg a Földet körülvevő űrbéli rádiófrekvenciás szennyezettség legjobb jelenlegi becslését. A kifejlesztett környezet bővíthető, de már jelen állapotában is képes a jövőben indítandó, hasonló misszióval rendelkező műholdak adatainak feldolgozására.

# Abstract

On December 6, 2019, the second and third Hungarian satellites, SMOG-P and ATL-1 (both having been developed at BME) were launched. They both had a radio frequency spectrum analyzer on board, which was used to measure for the first time the strength of radio frequency signals radiated into space by terrestrial digital TV transmitters – that can be detected in orbit around the Earth. In our paper, we show how we made two- and three-dimensional radiosmog maps from raw data received from space.

Due to the small size and limited power of the satellites, they did not have an orientation control system, and the on-board antenna has significant directional variation in gain, thus the measured data had to be strongly filtered. The spatial position and density of the measurement points were also limited by the orbit of the satellite and the bandwidth of the communication with the ground station, so significant spatial interpolation was also required. Inverse square distance weighted interpolation was performed on power values calculated from the frequency domain average of the measured RSSI values. In doing so, it had to be taken into account that the measured points are located on a spherical surface, thus the interpolation was done on a sufficiently dense icosahedral mesh.

Further, the goal was to display the now filtered, interpolated data in an effective, visually appealing way. This was achieved using a web application based on JavaScript technology. It can display the processed data set in various ways (discrete measurement points, continuous interpolated distribution, contour lines, etc.). The page is interactive, so the user can filter the results by frequency, as well as be able to influence certain properties of the displayed objects. The WebGL-based directory THREE.js was used for the display.

As a result of our work, a complete data processing chain was created, which uses a self-developed program and website to display the best current estimate of space radio frequency pollution surrounding the Earth from raw measurement results provided by pocketcube satellites orbiting the Earth. The developed environment can be expanded, but even in its current state it is able to process the data of satellites with a similar mission, to be launched in the future.

# 1. fejezet

## Bevezetés

Jelen dolgozat célja, hogy bemutassuk, hogyan hoztunk létre a műegyetemi fejlesztésű SMOG-P és ATL-1 műholdak által mért adatokból – a világon első alkalommal – egy Föld körüli, űrbéli rádiófrekvenciás szennyezettség-térképet („rádiószmog-térképet”), és egy, azt interaktívan megjelenítő webes alkalmazást. A mérések feldolgozása számos kihívás elé állított minket, melynek egy része a műholdak technikai adottságaiból származik, ezért is érdemes bemutatnunk röviden a két releváns missziót, így kontextusba helyezve a munkánkat.

### 1.1. PocketQube műholdak

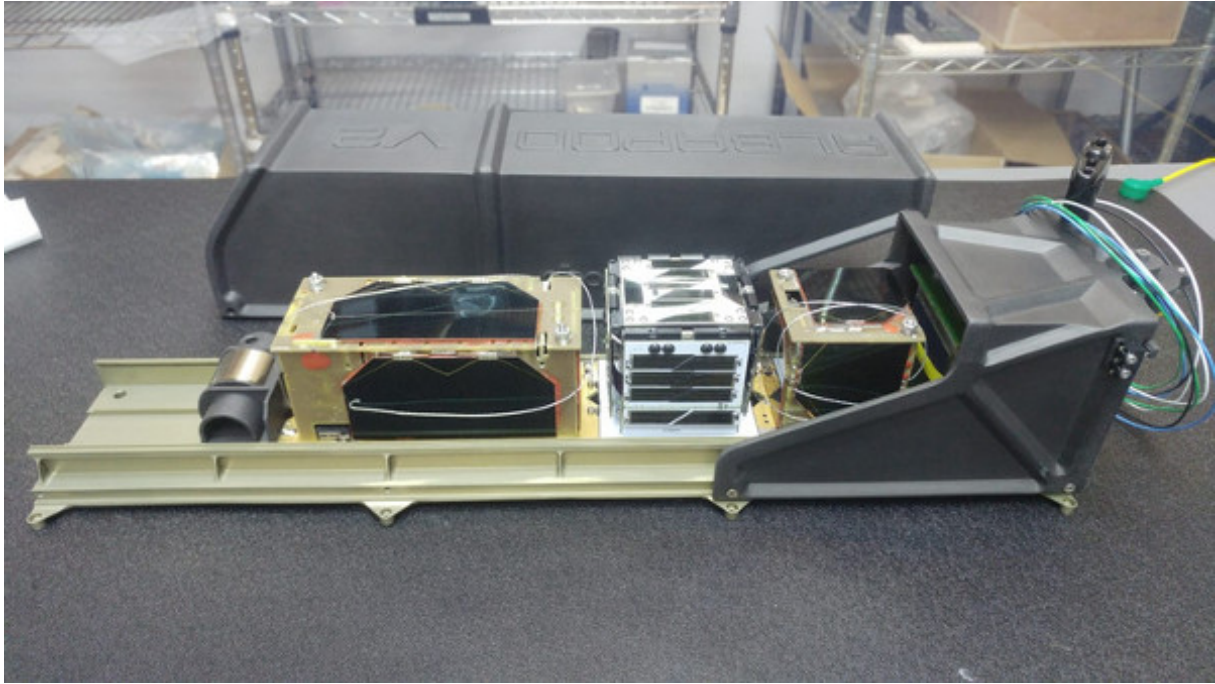
A SMOG-P és az ATL-1 műholdak több tekintetben is újabb jelentős mérföldkőnek számítanak a magyar űrtevékenységben. A SMOG-P a világ első űrben sikeresen pályára állított és működő 1 PQ méretű műholdja [23], egyben a második magyar műhold is.

Az  $5 \times 5 \times 5$  cm-es 1 PQ (PocketQube) méretű műholdakat a  $10 \times 10 \times 10$  cm-es CubeSat műholdak miniatürizációs törekvéseinek továbbgondolásaként javasolta az amerikai Robert Twiggs professzor [21]. Ezek a nanoműholdak lehetővé teszik, hogy még alacsonyabb költségen léphessenek ki saját műholddal az űrbe egyetemek, kutatóintézetek vagy egyéb érdeklődők; ugyanakkor jelentős kihívásokat is támaszt a fejlesztőkkel szemben: 10 évig tartott, mire Twiggs professzor felvetése után pályára állt a koncepciót először sikeresen megvalósító SMOG-P.

A 2 PQ méretű (azaz  $5 \times 5 \times 10$  cm méretű) ATL-1 pedig az első pályára állított magyar kereskedelmi célú műhold.

### 1.2. Az SMOG-P és az ATL-1 elsődleges küldetése

A SMOG-P elsődleges küldetése a Föld körüli rádiófrekvenciás szennyezettség feltérképezése volt. Számatalan rádiófrekvenciás telekommunikációs eszköz működik a Föld felszínén, melyeket csupán a földi kommunikációban használnak, azonban a kibocsájtott rádióhullámok az űrbe is kijutnak. Ez egyrészt zavarhatja a Föld körüli pályán keringő műholdakkal való kommunikációt; másrészt a földi szolgáltatók irányából is hasznos lehet tudni, hogy hol pazarolnak teljesítményt arra, hogy az űrbe sugározzanak. Ennek ellenére eddig nem



1.1. ábra. Az ATL-1 (balra) és a SMOG-P (jobbra) a start előtt. (Kép forrása: Alba Orbital)

készült még átfogó mérés erről; így a SMOG-P célja az volt, hogy mérései alapján elkészülhessen az első ilyen térkép. Ehhez helyet kapott a SMOG-P fedélzetén egy spektrométer [5], ami a műhold elsődleges hasznos terhe.

Az ATL-1 elsődleges küldetése a magyar ATL (Advanced Technology of Laser) cég által fejlesztett szigetelőanyag tulajdonságainak vizsgálata volt [22]. Több akkumulátor is került a fedélzetre, melyek felületén a vizsgált szigetelőanyag és hőmérők helyezkedtek el. Ezen túl helyet kapott az ATL-1 fedélzetén a SMOG-P-ben használt spektrométer is: így két műhold méréseiből dolgozhattunk.

### 1.3. A missziók lefutása

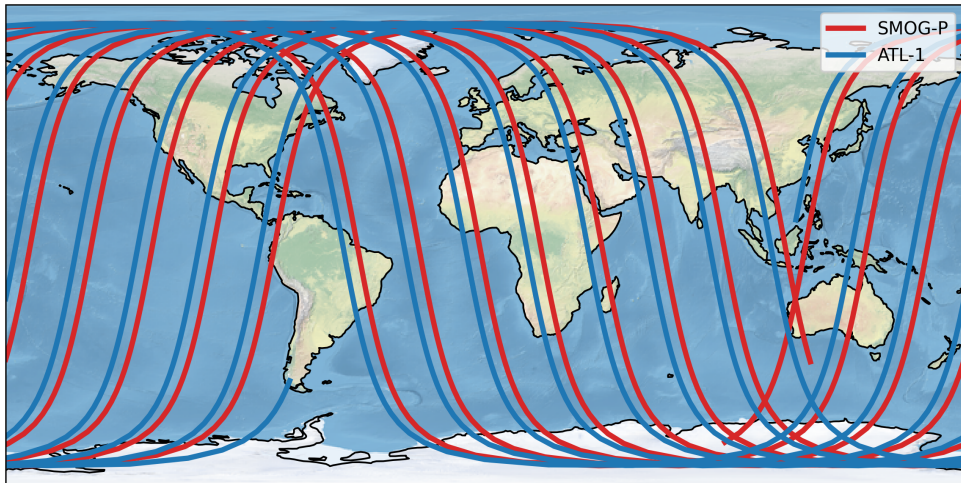
Mindkét műhold 2019. december 6-án állt Föld körüli pályára. Mindkettő az új-zélandi Rocket Lab saját fejlesztésű Electron rakétáján kapott helyet. A műholdak kezdetben nagyon hasonló, 385 km magasan fekvő napszinkron pályára kerültek. Ez később az eltérő mechanikai tulajdonságaik miatt máshogyan változott, így egyre eltérőbb pályán haladt tovább a két műhold.

A napszinkron pálya (Sun-Synchronous Orbit, SSO) sajátossága, hogy az ilyen pályán haladó műholdak azonos földi helyzet felett ugyanazon időpontban<sup>1</sup> halad el. Másképp fogalmazva: a Nap-Föld irány és a keringési sík által bezárt szög állandó. Mivel ez egy kvázi-poláris pálya, idővel a Föld teljes felszíne feletti áthaladást biztosítja [4], ahogyan azt az 1.2. ábra is mutatja. Ez kulcsfontosságú abból a szempontból, hogy a teljes Földet körülvevő rádiószmog-térkép készülhessen.

A műholdak pályamagassága az idő előrehaladtával folyamatosan változott, ahogyan azt

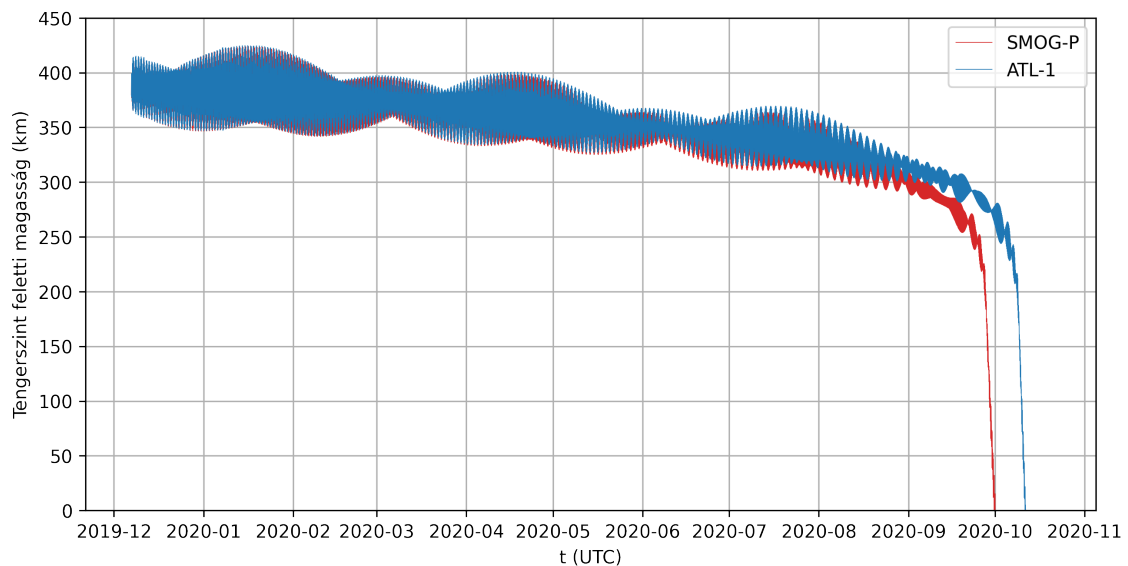
---

<sup>1</sup>Pontosabban: helyi napi középideő szerinti azonos időben.



1.2. ábra. A SMOG-P és az ATL-1 12 órányi pályája 2020. március 9-én. Ekkor már láthatóan elvált a két műhold pályája, bár hasonlóak maradtak.

az 1.3. ábra is mutatja.



1.3. ábra. A két műhold pályamagasságának alakulása az idő függvényében.

Ahogy az a pályamagasság-adatokból is látszik, a dolgozat írásának idejében már egyik műhold sem keringett a Föld körül: a SMOG-P 2020. szeptember 28-án, az ATL-1 október 18-án semmisült meg a légkörben. Mindkét műhold túlteljesítette tervezett célját: 10 hónapig, a tervezett időnél jelentősen tovább működtek.

## 1.4. Hardver

A már említett spektrumanalizátoron túl a műholdak fedélzetén számos (hőmérséklet-, mozgás-, mágneses térerősség-, teljes ionizációs dózismérő stb.) szenzor került elhelyezésre, ezekről többek között [6] ad bővebb tájékoztatást. Jelen dolgozat szempontjából a felsoroltak közül az mozgás-szenzor, valamint az antenna [16] érdemel figyelmet.



Mivel a műholdakon nem kapott helyet orientáció-szabályozó rendszer, és az antenna iránykarakterisztikája nem egyenletes, jelentősen függ a mért RSSI-értékek nagysága a műhold aktuális orientációjától. Mivel azonban pl. a SMOG-P összesen 300 mW teljesítményből gazdálkodhatott, valamint a fedélzeti számítógép memóriája [20], továbbá a leküldhető adatok mennyisége is korlátozott volt [5], gondosan meg kellett választani, hogy ez mire fordítódik: ebbe nem fért bele az, hogy a spektrum-értékek mellett folyamatosan, megfelelő felbontással a műhold orientációja is rögzítésre kerüljön. Ez jelentős kihívást jelentett a mérések későbbi kiértékelése során.

## 1.5. Földi állomások

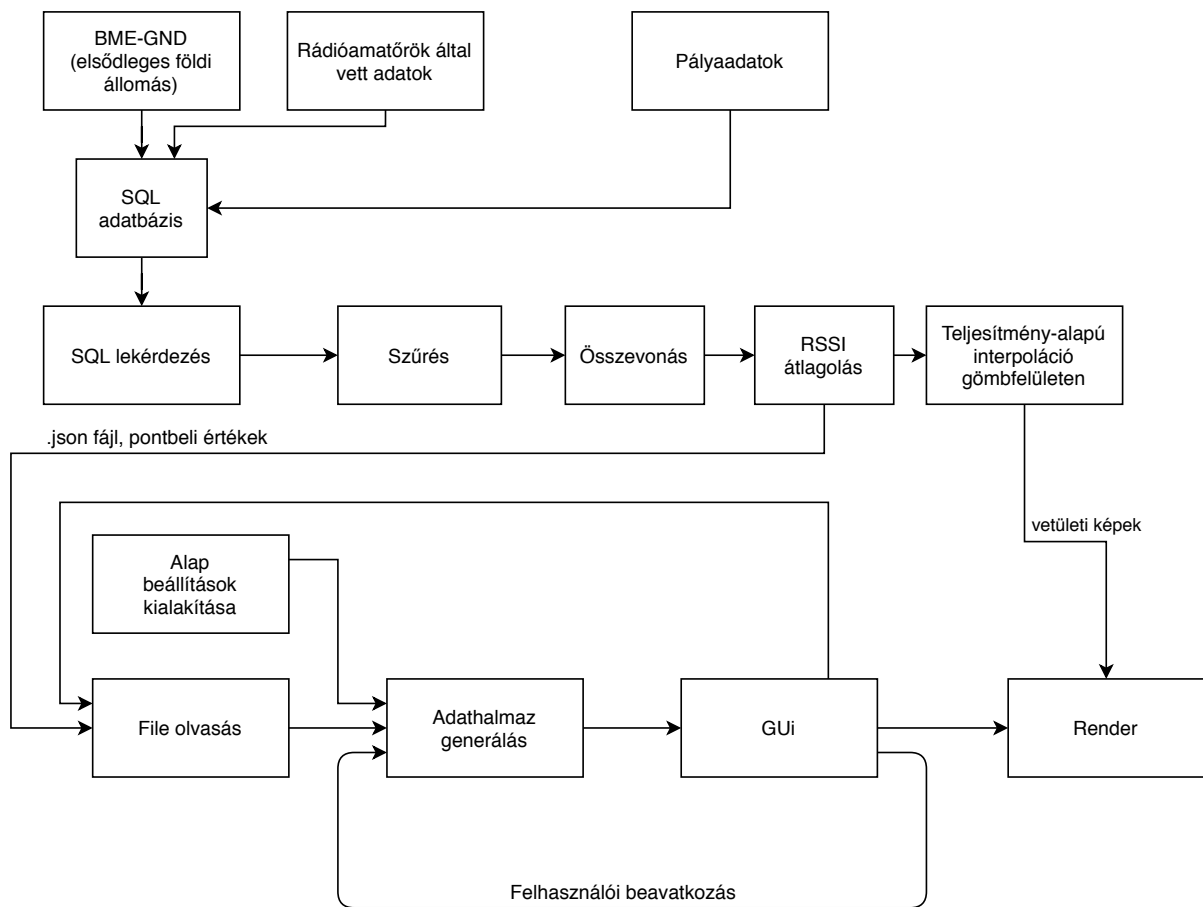
A műholdak a mért adatokat kétféle módon juttatták vissza a Földre. Bizonyos mérési eredményeket (köztük spektrométer-adatokat is) folyamatosan sugároztak, így egy földi vevőállomás a hozzá közel eső műhold-pozíciókban mért értékeket tudta venni. Ezen felül a műhold képes volt előre beprogramozott méréseket megadott időpontban elvégezni, memóriájában eltárolni, majd azt egy megbízható földi állomás felett elfogadva oda lesugározni.

Mivel az első típusú adatokat rádióamatőr-frekvenciákon mindenki szabadon vehette, és a vételhez szükséges program a dekódolt adatokat egy központi szerverre automatikusan továbbította [9], elegendő lelkes rádióamatőr és amatőr műholdakra specializálódott állomás a Föld nagy része felett sugárzott telemetriát tudta venni. Az olyan helyek felett pedig, ahol nem voltak ilyen rádióamatőrök, vagy több mérésre volt szükség, a műholdak operátorai az előre programozott mérésekkel tudták kitölteni a hiányzó helyeket.

Az előre programozott mérések eredményeinek vételének elsődleges földi állomása a BME E épületének tetején található műholdvezérlő állomás, a BME GND. Az itt található, automatikus forgatórendszerrel rendelkező, 437 MHz-en működő 4,5 m-es parabolaantenna folyamatosan követte az áthaladásokat. Ez természetesen jelentősen több összegyűjtött mérési eredményt eredményezett az antenna által észlelhető áthaladások alatt, mint a rádióamatőrök által üzemeltetett állomások, vagy az időzített mérések: ez egy jelentősen inhomogén térbeli eloszlást eredményezett a mérési pontokban (ld. később a 2.1. ábrát).

## 1.6. A dolgozat felépítése

A dolgozat következő két fejezete ennek megfelelően, és a két szerző munkájának megoszlása szerint van tagolva. Takács Donát készítette az adatfeldolgozáshoz, interpolációhoz szükséges modelleket és azok implementációját, valamint a térképi vetületeket (2. fejezet, kivéve 2.1. alfejezet); Markotics Boldizsár pedig az SQL-adatbázissal való kapcsolatot hozta létre, majd az előbbi eredményekre támaszkodva készítette el a mérési eredményeket interaktívan megjelenítő, háromdimenziós webalkalmazást (2.1. alfejezet, 3. fejezet). Az így létrehozott jelfeldolgozási láncot az 1.4. ábra szemlélteti.



1.4. ábra. A dolgozat tárgyát képező jelfeldolgozási láncot ábrázoló diagram.

## 2. fejezet

# Adatfeldolgozás

Mint minden jelfeldolgozási feladat esetében, a nyers mérési adatokon ebben az esetben is sok műveletet kellett elvégezni, hogy kiértékelhető eredményeket kapjunk. Szükség volt a mérések szűrésére és összevonására, hogy minél nagyobb százalékban hiteles mérési eredményekkel dolgozzunk (2.2-2.3. alfejezet), majd az így kapott, diszkrét pontokban vett értékeket interpoláltuk (2.4. alfejezet), ezután a különféle adathalmazokat különféle céloknak megfelelően ábrázolnunk is kellett, hogy vizuálisan befogadható, valamint a 3D-s ábrázolásban is használható eredményeket kapjunk (2.5. alfejezet).

Az adatfeldolgozás Python nyelven történt, saját fejlesztésű kóddal, melyhez természetesen számos nyílt forráskódú, ingyenesen elérhető Python-könyvtárat [7, 8, 13, 24] használtunk. Ezt a kódot a B függelék tartalmazza. A lényegesebb metódusok és programrészletek nevét a megfelelő részeknél megemlítjük, hogy az érdeklődő olvasó az implementáció részleteibe is betekintést nyerhessen.

Az adatfeldolgozás során számos eljárást paraméterezni kellett. A paramétereket, választott értékeiket és az implementációban használt nevüket a fejezet végén, a 2.6. alfejezetben közöljük.

Az itt ábrázolt grafikonok mindegyikéhez a 2019. 12. 06-tól 2020. 10. 09-ig végzett mérések adatait használtuk fel, a vizsgált frekvenciasáv pedig, ha a szövegben ez külön nincs jelezve, a mérések teljes frekvenciasávja: 119 MHz–960 MHz.

### 2.1. Adatok letöltése az SQL szerverről

Ahhoz, hogy elkezdjük dolgozni a központi szerveren összegyűjtött mérési adatokkal, megfelelő formában le kell kérnünk azokat. Műholdanként öt-öt adatbázistáblába rendezve férhetünk hozzá a mérési adatokhoz. Kettő tartalmazza a mérések paramétereit, kettő a mérések eredményeit, egy pedig a műhold pozícióit a mérés időpontjában (lásd 2.4).

Műhold_spa(_measurement)
<b>id</b>
<b>timestamp</b>
start_frequency
step_size
rbw
packet_count
spectrum_lenght
measurement_id
packet_id

2.1. táblázat. A mérések körülményeit tartalmazó tábla oszlopai

Műhold_spa_data(_measurement)
id
<b>spa_id</b>
<b>frequency</b>
<b>rsi</b>

2.2. táblázat. A mérések eredményeit tartalmazó tábla oszlopai

Műhold_position
<b>datetime</b>
<b>latitude</b>
<b>longitude</b>
<b>altitude</b>

2.3. táblázat. A műholdak pozícióját tartalmazó tábla

2.4. táblázat. A mérési adattáblák

Mindkét műhold esetén a `measurement` végződéssel ellátott táblák az előre betervezett mérési helyekről származnak, a `measurement` végződés nélküli táblák pedig a BME-GND földi állomás és rádióamatőrök által vett adatokat tartalmazzák.

Az `spa` és `spa_data`, valamint a pozíció megfelelő egymáshoz rendelése után megalkotunk két-két összevont táblát. Ezen táblák kapcsán fontos megjegyezni azt, hogy a földrajzi szélességi és hosszúsági körök értékén kerekítést hajtunk végre az adatbázis méretének későbbi csökkentése érdekében, azonban ez a későbbi számítások pontosságát nem befolyásolja.

Műhold összevont mérés
<b>timestamp</b>
<b>latitude</b>
<b>longitude</b>
<b>altitude</b>
<b>frequency</b>
<b>rsi</b>

2.5. táblázat. Az egyesített adattábla oszlopai

Az így kapott egyesített adattáblák (a pályaadatok és a földi vevőállomások fölött vett táblák) oszlopai megegyeznek, ezért ezeknek unióját képezhetjük. Ezáltal csökkentjük a feldolgozandó fájlok számait. A két műhold táblázatainak összevonásával az adatfeldolgozási lánc későbbi szakaszán foglalkozunk a bővíthetőség fenntartása érdekében, mivel így az adatfeldolgozó program kis módosítással tetszőleges számú műholdból származó adatot képes kezelni. A lekérdezés végeredményét egy `.csv` fájlba exportáljuk ki. A végső lekérdezést az A. függelék tartalmazza.

## 2.2. Előszűrés, összevonás

Az SQL adatbázisból lekért adatokat megfelelően szelektálni kell, hogy csak a hasznos adatokkal dolgozzunk tovább. Az SQL lekérés után rendelkezésre álló adatok mérési pontonként: a mérés időpontja másodpercre pontosan UTC időzónában ( $t, s$ ); az ebből a TLE adatok alapján a szerver által számított mérési pozíció szélességi ( $\varphi$ , deg), hosszúsági ( $\lambda$ , deg) és magassági ( $h$ , km) koordinátái; a mérés frekvenciája ( $f$ , Hz); valamint a mérés eredményének RSSI értéke (RSSI, dBm). A továbbiakban ezen adatok indexelt változatai konkrét méréseket jelentenek, azaz a teljes mérési adathalmaz

$$\{(t_i, \text{RSSI}_i, \varphi_i, \lambda_i, h_i, f_i)\}, \quad i = 1 \dots N \quad (2.1)$$

alakú, ahol  $N$  a mérések száma. Az ebben az alfejezetben tárgyalt számításokat a `select_usable_data` metódus implementálja. Mivel két `.csv` fájlt olvasunk be a két műhold mérési adataiból, azok egyesített értékeire kell lefuttatnunk a metódust, ezt az `import_usable` metódus implementálja.

### 2.2.1. Térbeli megfontolások

#### Értékelhető mérések kiválasztása

A műholdak az 1. fejezetben említett tulajdonságai miatt nem lehet tudni, hogy egy mérés során éppen milyen orientációban volt a műhold a Földhöz képest, és merre mutatott az antennája. Telemetria-adatok alapján ismert, hogy a műholdak folyamatosan forgásban voltak, így a nagy számok törvénye alapján feltételezhető, hogy ha elegendően sok alkalommal mérünk a műholddal egy adott pozíció felett, előbb-utóbb lesz olyan mérés, amely során az antenna az optimális (azaz maximális nyereségű) orientációban van a Földhöz képest. Értelemszerűen ez a mérés adja majd a legmagasabb mért értéket is, ha állandónak tekintjük a Földről jövő rádióhullámok teljesítményét, ami jó közelítésnek tekinthető.

Így ha a Földet reprezentáló gömbfelületet régiókra osztjuk, és ezeken a régiókon belül kiválasztjuk bizonyos frekvenciasávokban a legmagasabb mért értéket, elegendő számú mérés esetén nagy valószínűséggel minden ilyen régióban rendelkezünk majd olyan adattal, ami egy közel optimális antenna-orientációnak felel meg. Így ezeket a mért RSSI értékeket valószínűleg tekinthetjük: azaz ezen RSSI értékek térbeli változását nem a műhold forgásának tudjuk be, hanem a Föld körüli rádiószennyezettség térbeli fluktuációjának.

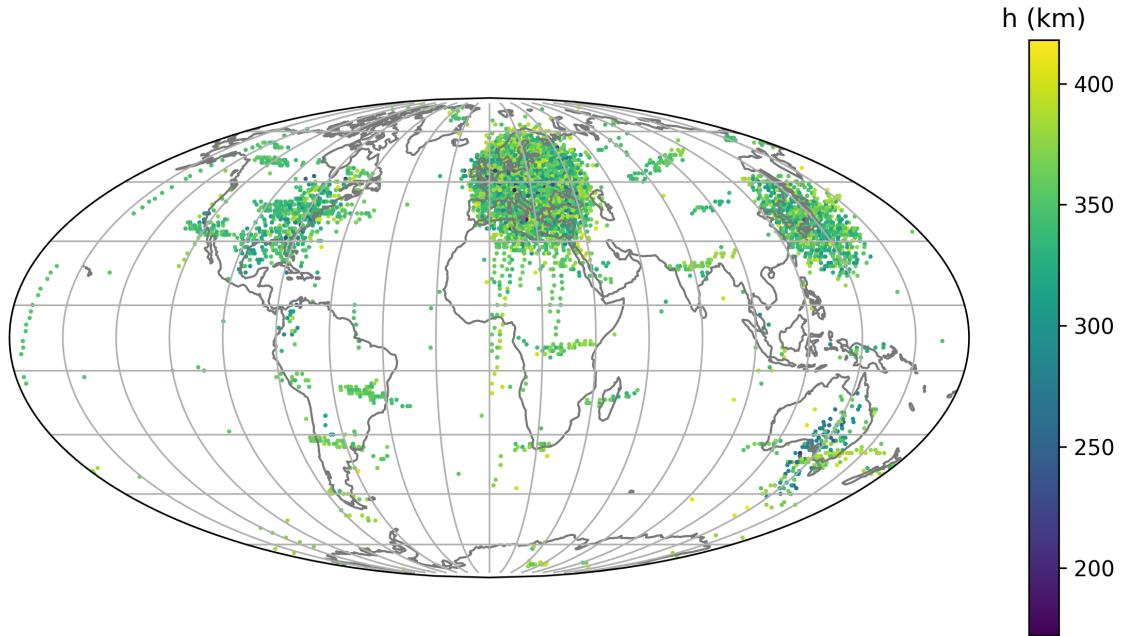
Fontos szempont továbbá, hogy a mérési pontok eloszlását nagyban meghatározta az, hogy a legtöbb mérést aktív földi állomás környékén lehetett elvégezni a műholdak véges memória-kapacitása miatt, ahogy azt a 2.1. ábra is szemlélteti. Éppen ezért fontos szempont az adatok feldolgozása során, hogy ez az egyenlőtlen eloszlás ne torzítsa az eredményt.

A térbeli csoportosítás a szélességi és hosszúsági koordináták kerekített értéke alapján történt: akkor esett ugyanabba a régióba két  $(\varphi_i, \lambda_i)$  és  $(\varphi_j, \lambda_j)$  pont (azaz  $\varphi_i \equiv \varphi_j$  ill.  $\lambda_i \equiv \lambda_j$ ), ha

$$\text{round}(\varphi_i/\tilde{\varphi}) = \text{round}(\varphi_j/\tilde{\varphi}) \quad (2.2)$$

$$\text{round}(\lambda_i/\tilde{\lambda}) = \text{round}(\lambda_j/\tilde{\lambda}) \quad (2.3)$$

ahol `round` a hagyományos egészre kerekítési függvény,  $\tilde{\varphi}$  és  $\tilde{\lambda}$  pedig a régió földrajzi



2.1. ábra. A két műhold által végzett mérések térbeli eloszlása.

szélességi ill. hosszúsági mérete. Lényeges megjegyezni, hogy ez a módszer nem ad egyenlő területű régiókat. Ezt az eljárást a `select_usable_data` metódus tartalmazza.

### A magasság figyelembevétele

Mivel a műholdak mérései a pályájuk excentricitása és időbeli változása miatt nem azonos magasságban történtek, szükséges figyelembe venni minden méréshez tartozó magassági értéket is. Egy lehetőség lenne, hogy magasság alapján is sávokra ill. régiókra osztjuk a mérési adatokat, azonban ehhez nem áll rendelkezésre elegendő adat, valamint a mérési időtartam nagy részében nem olyan jelentős a magassági ingadozás. Jó közelítésnek tekinthető tehát, ha a mért értékeket egy közös középfelületre redukáljuk annak feltételezésével, hogy a teljesítmény-források a Föld felszínén találhatóak, és a vett teljesítmény a forrástól távolodva a távolsággal inverz négyzetes törvény szerint változik. Ez nem pontos, hiszen nem csak a sugárba merőleges forrásból érkeznek a műholdak felé a rádióhullámok; azonban ezek a források tekinthetőek dominánsnak a távolság miatt.

A választott középfelület egyszerűen a mérési pontokhoz tartozó magasságértékek számtani közepe,  $\bar{h}$ . Ezt a 2.2. ábra szemlélteti.

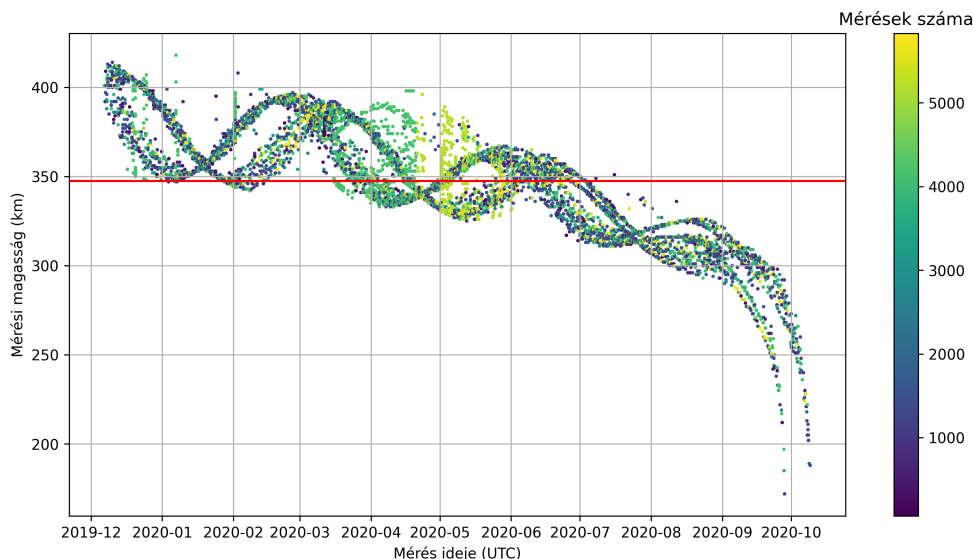
Ezt felhasználva a redukált RSSI értékek:

$$\text{RSSI}'_i = \rho \left( \pi(\text{RSSI}_i) \frac{h_i^2}{\bar{h}^2} \right) \quad (2.4)$$

Ahol

$$\rho(P) = 10 \cdot \log_{10} P, \quad \pi(\text{RSSI}) = 10^{\text{RSSI}/10} \quad (2.5)$$

az RSSI- és teljesítményértékek közötti átszámítást segítő függvények, melyek megfelelői a kódban a `power_to_rssi` és `rssi_to_power` metódusok.



2.2. ábra. A mérési magasság és gyakoriság a két műhold adataiban, az idő függvényében. A piros vonal a középfelület magasságát jelöli.

### 2.2.2. Frekvenciatartománybeli megfontolások

A spektrumanalizátorral végzett mérések frekvenciatartománybeli paramétereit sem ugyanazok az egyes mérések között. Van, hogy a mérés kisebb, van, hogy nagyobb frekvenciatartományra vonatkozik, ez attól is függ, hogy éppen az adatsomagok hányadrészét sikeresen venni az adatokat szolgáltató földi állomásnak. Ennek ellenére szeretnénk, ha frekvenciasávonként tudnánk különböző térképeket készíteni, illetve, ha a teljes frekvenciasávra tudnánk egy effektív átlagértéket számítani. Így a térbeli csoportosításhoz hasonlóan egy frekvenciatartománybeli csoportosítást is alkalmaztunk a mérési adatokon.

Két adatpont  $f_i$  és  $f_j$  frekvenciája ugyanabba a frekvencia-régióba esik (azaz  $f_i \equiv f_j$ ), ha

$$\text{round}(f_i/\tilde{f}) = \text{round}(f_j/\tilde{f}) \quad (2.6)$$

teljesül, ahol  $\tilde{f}$  a frekvencia-régió mérete.

### 2.2.3. Érvényesnek tekintett mérések kiválasztása, összevonás

A fentebb definiált (2.2), (2.3) és (2.6) ekvivalencia-relációk a mérési adatok halmazát ezen három érték alapján egyértelműen ekvivalencia-osztályokba sorolják. Ezen osztályokból a fentebb ismertett megfontolásoknak megfelelően azokat a méréseket tartjuk csak meg, amelyeknek az ekvivalencia-osztályon belül maximális az RSSI értéke. Ha több ilyen mérés is van, ezeket összevonjuk egyetlen, fiktív méréssé: a fiktív mérés új  $(\varphi, \lambda)$  koordinátái és  $f$  frekvenciája az ekvivalencia-osztálybeli mérések koordinátáinak és frekvenciájának számtani közepei lesznek.

Az eddigiek alapján tehát az előszűrt, összevont méréssel egy

$$\{(\text{RSSI}'_i, \varphi_i, \lambda_i, f_i)\}, \quad i = 1 \dots N' \quad (2.7)$$

adathalmazt kaptunk, ahol  $N'$  a szűrt és összevont mérési pontok száma, mely kisebb vagy egyenlő, mint a (2.2), (2.3) és (2.6) által kijelölt ekvivalencia-osztályok száma.

Ezeket a mérési eredményeket a műhold orientációjától már függetlennek, hitelesnek tekintjük a továbbiakban.

## 2.3. RSSI-átlagérték meghatározása egy frekvenciasávra

A következő lépés, hogy a már érvényesnek tekintett adatokból egy tetszőleges  $(f_{min}, f_{max})$  frekvenciasávra egyetlen jellemző RSSI értéket tudjunk mondani egy  $(\varphi_i, \lambda_i)$  mérési pontban: ezzel szemléletessé téve azt, hogy milyen erős a rádiófrekvenciás szennyezettség abban a régióban. Más szóval: egy

$$(\text{RSSI}'_i, \varphi_i, \lambda_i, f_{i,j}) \rightarrow (\overline{\text{RSSI}}_i, \varphi_i, \lambda_i), \quad f_{min} \leq f_{i,j} \leq f_{max} \quad (2.8)$$

leképezést keresünk, ahol  $\overline{\text{RSSI}}$  a frekvenciasávra vett átlagérték, az  $i$  indexelés az azonos (azaz a (2.2) és (2.3) relációk által kijelölt) térbeli régiókba tartozó értékeket jelöli, a  $j$  index pedig az ezen régiókon belüli különböző frekvencia-értékek indexe.

Erre a célra a jelfeldolgozásban gyakran használatos négyzetes középértéket használtuk, a teljesítményértékekre értelmezve, majd az eredményt visszakonvertálva RSSI-be:

$$\overline{\text{RSSI}}_i = \rho \left( \sqrt{\frac{\text{trapz}_j(f_{i,j}; \pi (\text{RSSI}'_i)^2)}{\max_j(f_{i,j}) - \min_j(f_{i,j})}} \right), \quad f_{min} \leq f_{i,j} \leq f_{max}, \quad (2.9)$$

ahol  $\text{trapz}_i(x_i, y_i)$  az  $(x_i, y_i)$  értékek numerikus trapéz-integrálja.

Tehát a fenti átlagolással az alábbi jellegű adathalmazokhoz jutottunk:

$$\{(\overline{\text{RSSI}}_i, \varphi_i, \lambda_i)\}_{f_{min}, f_{max}}, \quad i = 1 \dots M, \quad (2.10)$$

ahol  $M$  a (2.2) és (2.3) relációk által kijelölt ekvivalencia-osztályok száma. Azaz: minden térbeli régió mérési pontjához számítottunk egy, a frekvenciasávra jellemző, átlag RSSI értéket.

Az ebben az alfejezetben tárgyaltakat az `average_rounded_rssi` metódus implementálja.

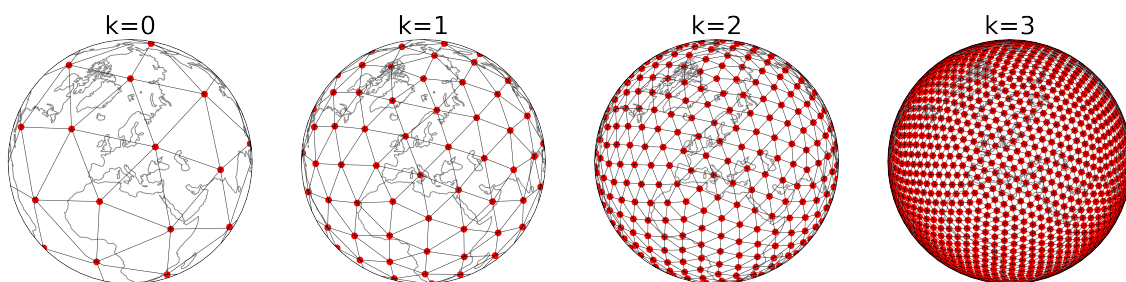
## 2.4. Interpoláció gömbfelületen

Mivel az adatfeldolgozás végső célja az volt, hogy egy folytonos eloszlású térképet hozzunk létre a diszkrét RSSI mérési adatokra, szükség volt valamilyen interpoláció alkalmazására: egy tetszőleges  $(\varphi, \lambda)$  pontra szeretnénk megbecsülni az ott mérhető RSSI értékét. A középfelületre való redukálással ugyan csökkentettük a ponthalmaz dimenzióját háromról kettőre – így egyszerűbbé téve az interpolációt – azonban a gömbfelület geometriáját nem lehet elhanyagolni. Lényeges jellemzője az interpolálandó felületnek, hogy a gömbi geometria miatt nem lehet egyszerűen a koordináták mentén interpolálni: egyrészt a gömbi koordináta-rendszerben a  $\varphi = \pm 90^\circ$  szélesség esetén tetszőleges  $\lambda$  hosszúsági koordinátájú pontok ugyanannak a térbeli pontnak felelnek meg; másrészt a gömbfelületnek topológiai értelemben nincs határa, azaz a  $\lambda \equiv \lambda + 2\pi$ ; harmadrészt a gömb felületén lévő pontok közötti (légvonalbeli és felszíni) távolság is bonyolult függvénye a koordinátáknak. Ezek



a szempontok igen jelentősek a gömbfelületen számított, RSSI-szintvonalak esetében is: szeretnénk, ha azok a dátumválasztónál is folytonosak lennének.

Ezen probléma megoldásához végül a `stripy` python könyvtárat [15] használtuk, mely a STRIPACK [17] és SSRFPACK [18] Fortran könyvtárakkal interfészel. Ezek a könyvtárak igen hatékonyan kezelnek nagy számú, gömbfelületen elhelyezkedő pontot; a pontokat egy háló részeként kezelik, és különféle interpolációs módszereket is tartalmaznak beépítve. A 2.3. ábrán látható az általunk használt ikozahedrális háló előállításának: egy ritka, durva hálóból fokozatos globális sűrítéssel lehet tetszőlegesen finom hálót előállítani, melyet a  $k$  paraméter jellemez. A pontok pozíciója egy K-d fa struktúrában van tárolva, így lehetővé téve a gyors térbeli keresést és interpolációt. Az ikozahedrális háló csúcspontjait és lapközéppontjait is használtuk a megfelelően sűrű háló érdekében.



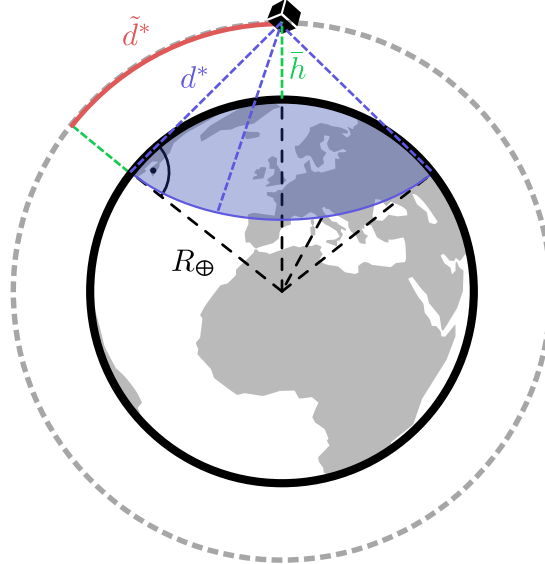
2.3. ábra. A használt ikozahedrális háló finomításának első négy iterációja.

Magához az interpolációs függvényhez saját eljárást kellett definiálnunk, nem voltak elegendők a beépített lehetőségek. A szakirodalomban számos módszer fellelhető RSSI mérések interpolációjához (például spline-illesztés, távolság-alapú súlyozott átlagolás, krigeelés [3, 12]). Mi távolsággal inverzen súlyozott interpolációt (*inverse distance weighting*, IDW) alkalmaztunk az RSSI értékekből számított teljesítmény-értékekre. Egyrészt azért, mert [3] esettanulmányában ez adta a legpontosabb eredményt egy hasonló feladatban; másrészt az IDW interpoláció egyik fő gyakorlati nehézsége általánosságban a  $d$  távolság kitevőjének meghatározása a  $w$  súlyokhoz, azonban ebben az esetben úrbéli terjedésről van szó, tehát meglehetősen pontosnak tekinthető az ideális,  $w \propto d^{-2}$  arányosság; harmadrészt az IDW interpoláció a legmegengedőbb a pontatlan mérési adatokkal szemben, melyeknek a fentebb tárgyaltak nyomán a gondos előszűrés ellenére is megvan az esélye.

Figyelembe kell venni az interpoláció során, hogy egy adott környezetben csak azokat a pontokat érdemes interpolálni, melyek olyan terület felett helyezkednek el, melyek a műhold a horizontjánál közelebb vannak. Másképp fogalmazva ezek azok a mérési pontok, ahonnan még látszik a Föld azon pontja, mely felett az interpolációt végezzük.

Ezek vetülete egy bizonyos  $d^*$  távolságon belül van: ez a műhold látóköre, melynek mérete a  $\bar{h}$  átlagos pályamagasságból és a Föld közepes sugarából számítható. Ennek geometriáját a 2.4. ábra szemlélteti. Az interpolációs könyvtár azonban az *interpolációs* gömbfelületen mért geodetikus távolság alapján adja meg a legközelebbi pontokat, így a  $d^*$  látótávolság helyett a  $\tilde{d}^*$ , középfelületen mért ívhosszra van szükségünk. Ezek kiszámítása a 2.4 alapján:

$$d^* = \sqrt{(R_{\oplus} + \bar{h})^2 - R_{\oplus}^2}, \quad \tilde{d}^* = (R_{\oplus} + \bar{h}) \arcsin\left(\frac{d^*}{R_{\oplus} + \bar{h}}\right) \quad (2.11)$$



2.4. ábra. A látókör paramétereinek kiszámítása gömb alakú Föld közelítéssel,  $\bar{h}$  közepes magasságú kör alakú pálya esetén. (Az ábra nem méretarányos.)

ahol  $R_{\oplus}$  a Föld közepes sugara.

Az interpolációs függvény:

$$\text{RSSI}(P_0) = \rho \left( \frac{\sum_i \pi (\overline{\text{RSSI}_i}) w(P_0, P_i)}{\sum_i w(P_0, P_i)} \right), \text{ ha } \tilde{d}(P_0, P_i) < \tilde{d}^* \quad (2.12)$$

valamint az ehhez használt súlyok:

$$w(P_0, P_i) = \frac{1}{d(P_0, P_i)^2} \quad (2.13)$$

ahol  $d(P_i, P_j)$  két pont euklideszi, míg  $\tilde{d}(P_i, P_j)$  két pont gömbfelületi távolságát jelöli. A  $P_0$  pont tetszőleges lehet (ebben az esetben az ikozahedrális háló egy csúcsa vagy lapközeppontja), míg  $P_i$  egy mérési pont. Az első távolság-mértéket a saját `xyz_dist_latlon` metódus implementálja, a másodikat a `stripy` könyvtár K-d fa alapján közeli pontokat kiválasztó metódusa tartalmazza.

Ezen interpoláció segítségével a középfelület tetszőleges pontjára ki tudjuk számítani az interpolációval becsült RSSI értéket, figyelembe véve a gömbfelület tulajdonságait. Az ezen alfejezetben tárgyaltakat az `IDW_interpolate_rssi` metódus implementálja.

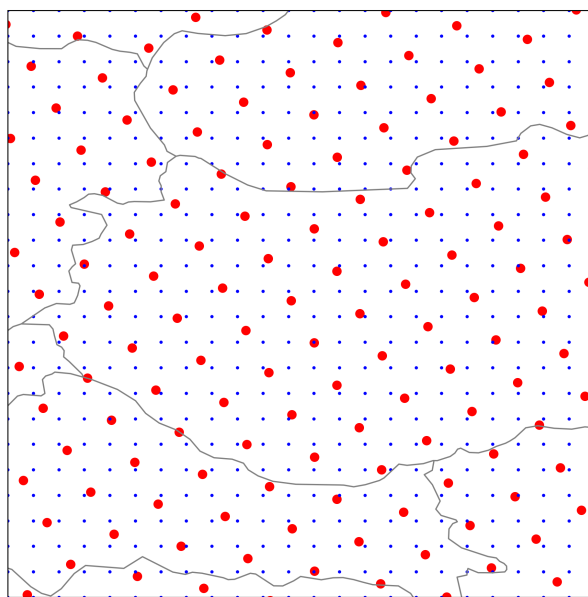
## 2.5. Ábrázolás

Az interpolált adatokból 2D-s ábrákat szeretnénk készíteni, hiszen egyrészt szeretnénk hagyományos térképi vetületen ábrázolni a mérési eredményeket, valamint a 3D-s térkép felületi textúrái is 2D-s képek formájában adhatóak meg. Számos különböző ábrázolást alkalmaztunk, melyek különböző fokig veszik figyelembe a diszkrét ill. interpolált mérési adatokat.

A térképészet klasszikus problémája, hogy hogyan ábrázoljunk egy gömbfelületet síkba térítve. Elemi differenciálgeometriai ismeretek birtokában könnyen belátható, hogy a feladat lehetetlen: a sík és a gömb Gauss-görbülete különböző, így a nevezetes *Theorema egregium* szerint nem létezik torzításmentes térképi vetület [10]. Így a projekció kiválasztása mindig attól függ, hogy milyen tulajdonságot szeretnénk kevésbé torzítani: így mi is többféle vetületi módszert alkalmaztunk az adott célnak megfelelően. A térképi vetületek alapjai iránt érdeklődő olvasót a műegyetemi geodéta-képzés klasszikus szövegéhez, a Krauter-féle könyvhöz [11] irányítjuk. A vetületi ábrázolás implementálásában nagy segítségünkre volt a `cartopy` [14] könyvtár.

### 2.5.1. Áttérés ikozahedrális hálóról síkfelületre

A `stripy` használatával kapott interpolált értékek a fentebb tárgyalt ikozahedrális háló csúcspontjaiban és lapközéppontjaiban helyezkednek el. Ezt más alakra kell hozni, ha vetületi térképeket szeretnénk készíteni. Ha elegendően sűrű a háló, egy egyszerű, egyenközű szélesség-hosszúság rácsban lineáris interpolációval is ki lehet számolni a köztes értékeket: elegendően kis környezetben érvényes a síkkal való közelítés a térbeli interpolációnál, ellentétben a globális esettel. Ezen interpoláció implementációját a `plate_carree_interpolation` metódus tartalmazza. Az így kapott szélesség-hosszúsági koordináta-rácsra illesztett RS-SI értékeket használjuk fel a további ábrázolások során. A rácsot a  $\tilde{k}$  fokenkénti osztások számával paramétereztük. Egy ikozahedrális és egy rektanguláris háló összehasonlítását mutatja a 2.5. ábra.

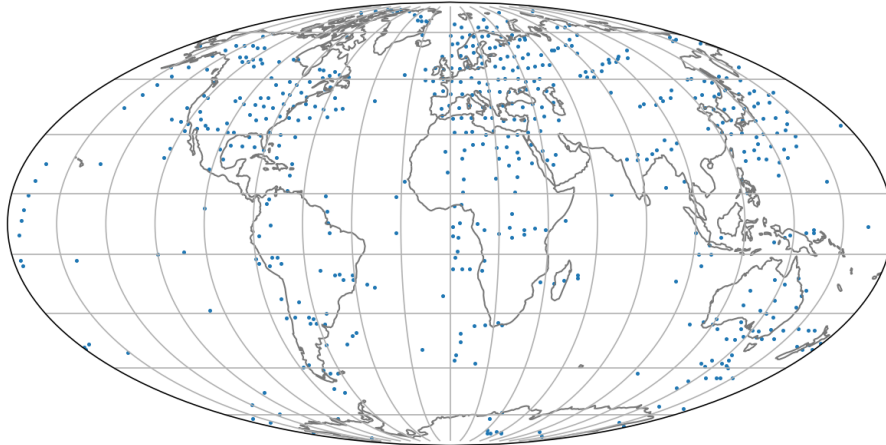


2.5. ábra. Egy  $k = 7$  paraméterű ikozahedrális (piros) és egy  $\tilde{k} = 6$  paraméterű (kék) rács összehasonlítása Magyarország felett (Mollweide-vetület).

### 2.5.2. A mérési pontok térbeli eloszlása

Első körben szeretnénk megvizsgálni, hogy a (2.7) szerinti adathalmaznak milyen az eloszlása a Föld felszínén. Ehhez a Mollweide-féle vetítést használtuk, melynek lényeges tulajdonsága, hogy területtartó; így a mérési pontok sűrűségének ábrázolására hasznos. Egy ilyen eloszlást mutat az alábbi a 2.6. ábra, és a fentebbi 2.1. ábra. Látható, hogy

az összevonással sikerült javítani a pontok térbeli eloszlásának sűrűségén, azonban így is maradtak területek, ahol relatíve kevés mérési eredménnyel rendelkezünk.

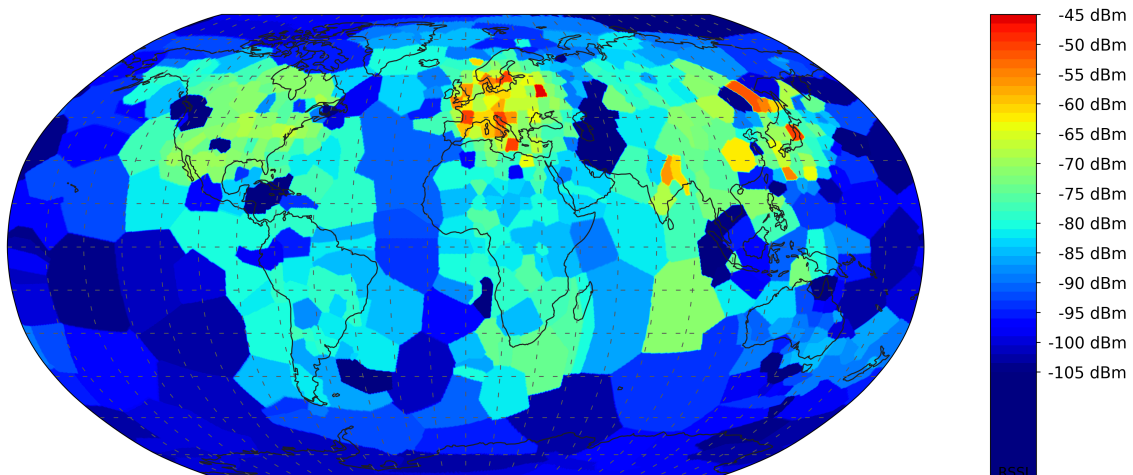


2.6. ábra. Az előszűréssel és összevonással kapott mérési pontok eloszlása, Mollweide vetületen ábrázolva.

Ezt a térképet a 3D-s ábrázoláshoz nem fogjuk használni, hiszen ott ezeket a pontokat térben jelenítjük meg.

### 2.5.3. RSSI-értékek Voronoi-diagramja

Ha nem szeretnénk interpolációt használni, hanem pusztán a mérési adatok által sugallt RSSI-eloszlást szeretnénk ábrázolni, hasznos a kiátlagolt RSSI-értékek térbeli eloszlása alapján egy Voronoi-diagramot készíteni. Ebben az esetben a gömbfelület minden pontjában a hozzá legközelebb eső mérés eredményét jelenítjük meg, egy a (2.10) jellegű, frekvenciákra átlagolt halmazból. Ez egyszerűen megvalósítható a `stripy` beépített `measurement_triangulation.interpolate` metódusával, ennek részleteit a `voronoi_rssi` metódus tartalmazza. A kapott interpolációt a 2.7 szemlélteti Robinson-féle vetítéssel.



2.7. ábra. Az interpolálatlan mérési eredményekkel kapott Voronoi-cellák ábrázolása Robinson-vetületen.

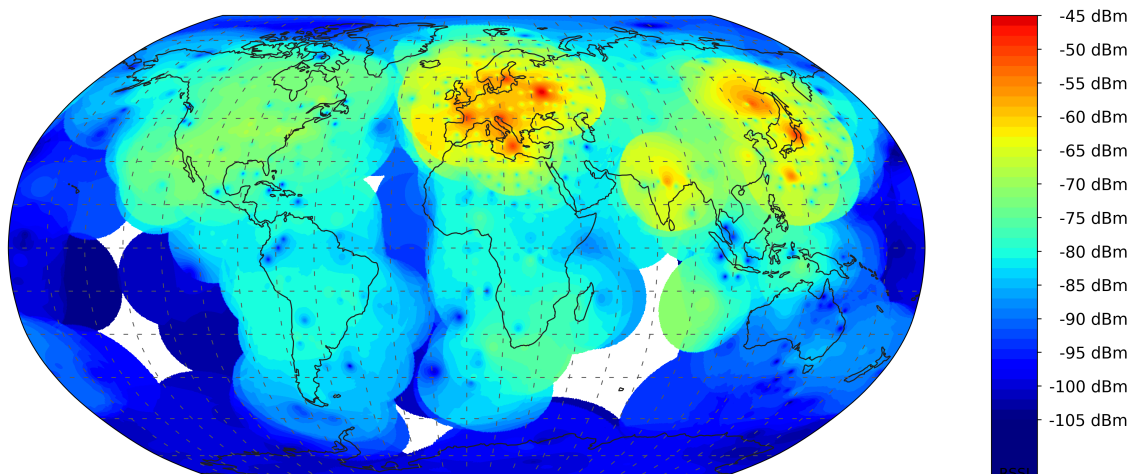
Az ábrát megnézve látható, hogy bizonyos területek felett nem készült elegendő mérés. Egyrészt pl. az Egyesült Államok felett néhány száz km-es alacsony RSSI-jű foltok vannak,

melyeket jelentősen magasabb RSSI-jű tartományok vesznek körbe: ez a pár száz kilométer nem akkora távolság, hogy teljesen megszűnjenek a környező területen érzékelhető rádiójelek: valószínűleg az ezen a területen készült mérések során a műhold mindig rossz orientációban volt. Másrészt az Indiai-óceán felett olyan nagy cellák találhatóak, melyeknek középpontja messzebb van a határoktól, mint 2100 km (azaz a műhold látókörének sugara), így ezeken a területeken a látókör-alapú IDW interpoláció nem fog eredményt adni. (Ennek eredményét a 2.5.4. részben mutatjuk majd be.)

Ezen, valamint több alábbi interpoláció eredményeit is elérhetővé tettük az interaktív felületen, melyhez ekvirektanguláris, *Plate Carree* vetítést kellett alkalmaznunk. Ez egy 2:1 arányú képet generál, melyet a THREE.js megjelenítő textúraként értelmezve gömbfelületen meg tud jeleníteni. Érdeemes megjegyezni, hogy a 2.5.1. részben tárgyalt egyenközű koordináta-rács derékszögű-koordináta rendszerben való ábrázolása éppen a Plate Carree vetületet adja: pixelenként egyenközűen változik az azokhoz tartozó szélességi ill. hosszúsági koordináták értéke.

#### 2.5.4. Folytonos eloszlású RSSI

A 2.4. alfejezetben tárgyaltak alapján kapott eredményeket a 2.8. ábra szemlélteti.



2.8. ábra. Az IDW interpolációval kapott eredmények ábrázolása Robinson-vetületen.

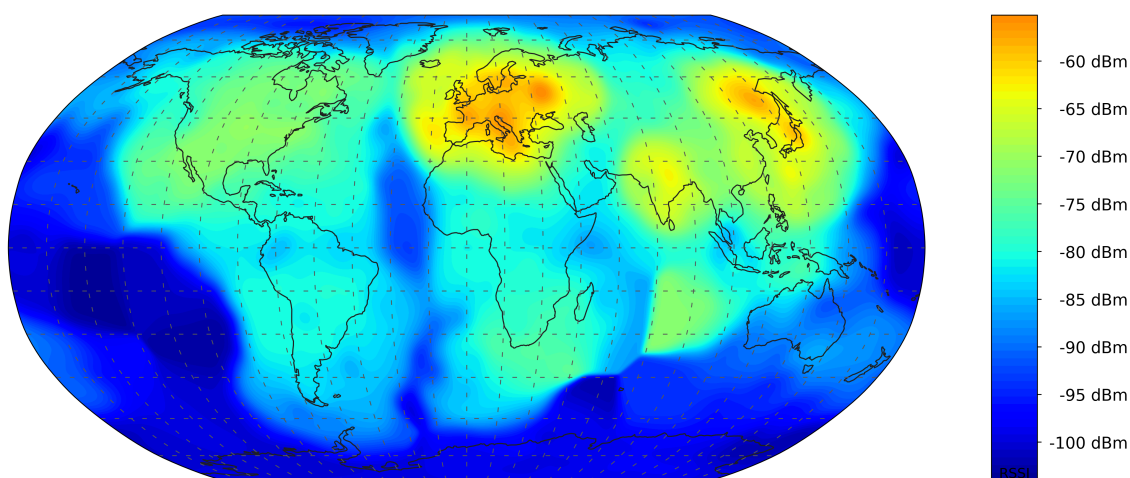
A magas RSSI-jű területekben számos helyen megfigyelhető egy-egy más színű, alacsonyabb RSSI értékű pont. Ez az IDW interpoláció sajátossága: mivel a 2.6. ábrán feltüntetett mérési pontokban kapott értékeket hitelesnek tekintettük, ezen pontok közvetlen közelében az ottani értékeket nem fogják felülírni a környezők.

Néhány helyen kifejezetten látványos a mérési pontok körüli látókörök széle: ez bizonyára nem felel meg a fizikai valóságnak, hiszen más helyeken viszont kontinenseken keresztül is folytonos a változás. Sőt, a korábban említett módon az Indiai- és a Csendes-óceán felett megfigyelhetőek olyan területek, melyeknek nem adott értéket az IDW interpoláció: egy mérési pont látókörébe sem esnek be.

Felmerül a kérdés, hogy hogyan kezeljük ezeket az artefaktumokat. Bizonyos értelemben minden ezutáni adatfeldolgozás még távolabb visz minket a valóságtól, ugyanakkor néhány hibáját is kijavítja az IDW interpoláció eredményeinek. Mivel az is szempontunk volt, hogy egy laikusok számára is könnyen értelmezhető térképet készítsünk – ami e dolgozat

írásakor még mindig a legjobb létező közelítése a Föld körüli rádiószmog-eloszlásnak – egy Gauss-kernellel való simítás mellett döntöttünk. Ez megoldja az éles határok, és a láthatóan helytelen RSSI értékű foltok problémáját is, valamint kitölti a mérési eredmény nélküli területeket is, ha azok nem túl nagyok. A Gauss-kernel paramétere a  $\tilde{\sigma}$  fokban mért szórás, melyből a  $\sigma_x = k\tilde{\sigma}$  összefüggéssel kaphatjuk meg a pixeleken mért szórást, melyből a Gauss-kernel értékét számolhatjuk. Ennek részleteit a `plate_carree_interpolation` eljárás tartalmazza. Érdekesség, hogy az ehhez szükséges konvolúciót az adathalmaz nagy mérete miatt frekvenciatartományban kellett elvégeznünk, hogy reális mennyiségű RAM-ba beleférjünk a futtatáskor. Ehhez az Astropy könyvtárat [1, 2] használtuk.

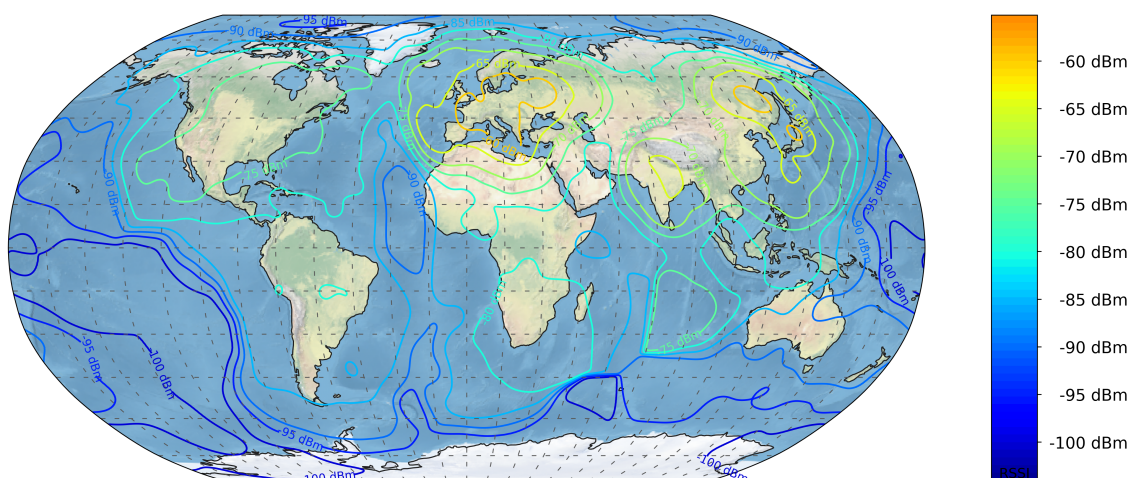
A Gauss-simítással kapott grafikont a 2.9. ábra mutatja. A simítás megoldotta a felsorolt problémákat, azonban behozott egy újat: az RSSI értékek tartománya eltolódott a méréshez képest, így ezeket a számértékeket óvatosabban kell kezelni: inkább az általános tendencia értékelésére érdemes használni ezt a térképet.



2.9. ábra. A Gauss-simítással kapott térkép, Robinson-vetületen.

### 2.5.5. Szintvonalas ábrázolású RSSI

A simított térkép alapján már könnyen készíthetünk egy szintvonalas ábrázolású térképet is, ahogyan azt a 2.10. ábra is mutatja.



2.10. ábra. A Gauss-simítással kapott térkép azonos RSSI-értékekhez tartozó szintvonalai.

## 2.6. Az adatfeldolgozás paramétereit

Ebben a fejezetben számos adatfeldolgozással kapcsolatos paramétert bevezettünk. Ezeknek egy része az adathalmaz sajátossága, többi értéke pedig a mi választásunktól függött. Ez utóbbiakat úgy választottuk meg, hogy egyensúlyt találjunk az eredmények pontossága, értelmezhetősége és a számítások megvalósíthatósága között. A paraméterek jelöléseit, értelmezését, a programkódban használt nevüket és a használt vagy kapott értéküket a 2.6. táblázat tartalmazza.

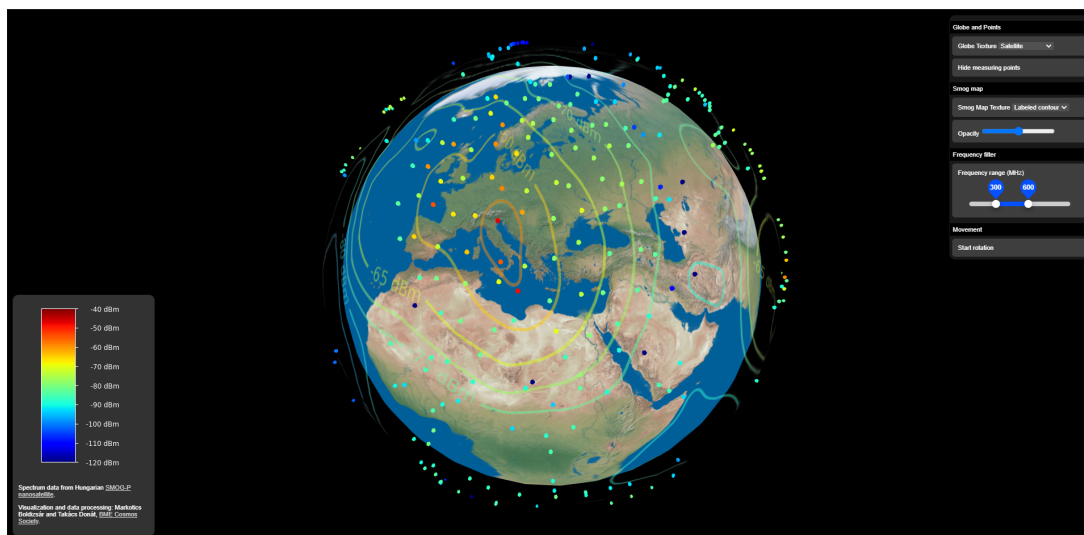
Jelölés	Értelmezés	Változónév	Érték
$\tilde{\varphi}$	Összevonási régió mérete szélességi fokban	<code>spatial_res_deg_lat</code>	5
$\tilde{\lambda}$	Összevonási régió mérete hosszúsági fokban	<code>spatial_res_deg_lon</code>	5
$\tilde{f}$	Frekvencia-régió mérete (MHz)	<code>frequency_res_mhz</code>	50
$k$	Ikozahedrális gömbháló sűrítési foka	<code>icosa_mesh_ref_level</code>	7
$\tilde{k}$	Plate Carree vetületi rács osztása (1/fok)	<code>points_per_deg</code>	6
$\tilde{\sigma}$	Gauss-kernel szórása (1/fok)	<code>gauss_sigma_deg</code>	3
$N$	Nyers mérési adatsorok száma	(nincs)	19 115 754
$N'$	Szűrt és összevont mérési pontok száma	(nincs)	5 904
$\bar{h}$	Középfelület tengerszint feletti magassága (km)	<code>mean_altitude</code>	347

2.6. táblázat. Az adatfeldolgozás paramétereit.

## 3. fejezet

# Webalkalmazás

A webalkalmazásunk célja, hogy a szűrt, valamint interpolált adatokat bármilyen felhasználó számára könnyen elérhetővé tegyük. A dolgozat írásának idejében az elkészült alkalmazás megtalálható a <https://gnd.bme.hu/mb/site> oldalon.



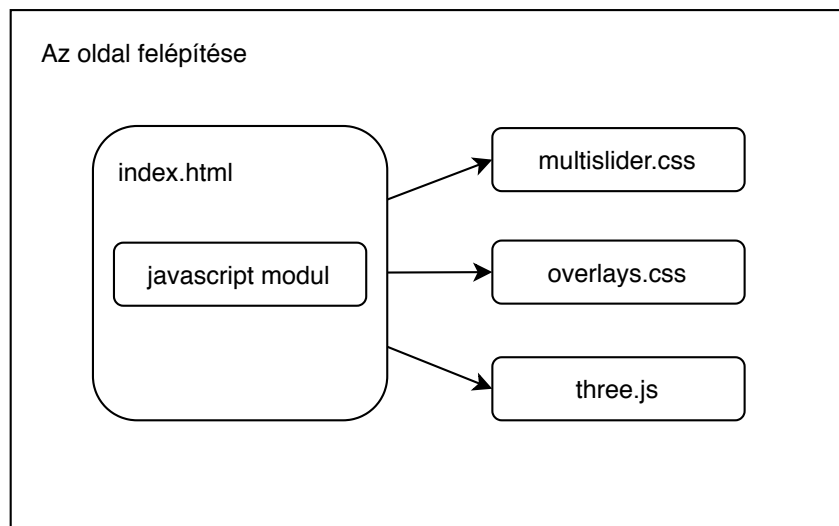
3.1. ábra. Az elkészült weboldal

A rengeteg adat könnyebb befogadása érdekében egy háromdimenziós és interaktív megjelenítő felület mellett döntöttünk, melyet a 3.1 ábra szemléltet. Itt megfigyelhető az interaktív kezelőfelület, a Föld, a különböző (szűrt, összevont) méréspontok helyei pontos RSSI értékekkel, valamint a bolygó körüli űrbéli rádiófrekvenciás szennyezettséget (továbbiakban: elektorszmozg) reprezentáló interpolált értékek szintvonalas ábrázolása.



## 3.1. Az alkalmazás felépítése

Az alkalmazás alapját egy HTML (*Hypertext Markup Language*) fájl képezi. Ez tartalmazza a megjelenő főbb elemeket, az oldal alapvető funkcionalitását tartalmazó javascript modult, hivatkozásokat a stíluslapokra és a háromdimenziós környezetet támogató THREE.js könyvtárra.



3.2. ábra. Az oldal vázlatos felépítése

### 3.1.1. Stíluslapok

- **overlay.css**

Az oldalon megjelenő különböző kiegészítő elemek formázásáért felel, például a jelmagyarázat helyes megjelenítéséért, a menü dizájnjáért és az oldalon megjelenő egységes betűtípusért.

- **multislider.css**

Ez a fájl felelős a később bemutatott menü *Frekvenciaszűrés* (lásd 3.4) funkciójának megvalósításáért. Érdekessége, hogy mivel a HTML nem rendelkezik tartományszűrő beviteli csúszkával, így két hagyományos csúszka egymásra helyezésével kellett létrehozni ezt az elemet. A megoldás bonyolultsága tette indokolttá a külön stíluslapba való helyezést.

### 3.1.2. THREE.js

A THREE.js egy WebGL alapú JavaScript könyvtár [19]. A WebGL a JavaScript nyelvet egészíti ki háromdimenziós render lehetőségével, mindezt úgy, hogy a megjelenítéshez a számítógép videokártyáját is használja, ezzel szétosztva a webalkalmazások erőforrásigényét. A THREE.js tovább egyszerűsíti a háromdimenziós objektumokkal való munkát. A térben könnyedén elhelyezhetünk objektumokat, általunk választott látószögű kamerával pedig megjeleníthetjük azokat.

Az oldal létrehozásához használt, az oldal alapvető működésének megértéséhez szükséges főbb objektumok a könyvtáron belül a következők:

- **THREE.Layers();**

Különböző megjelenítési rétegeket lehet a segítségével előállítani, ez a funkció főleg az interakció növelésére használható. A továbbiakban *rétegeként* hivatkozunk rá.

**Előnyei:** Az objektumot el tudjuk rejtteni, ha nem akarjuk megjeleníteni. Nem kell azt törölni, majd újra betölteni, ha ismét szükség van rá. Ez nagyságrendekkel gyorsítja a gyakran használt objektumok ki- és bekapcsolását, ezzel növelve futás gördülékenységét.

**Hátrányai:** Mivel a nem használt objektumot nem töröljük, csak elrejtjük, így nem szabadítunk fel erőforrást: bár videokártyát nem terhelünk, azonban a memóriát fogyasztjuk. Ha túl sok objektum létezik, az alacsony teljesítményű eszközök felhasználói élménye az elvártnál rosszabb lehet.

- **THREE.Group();**

Csoportosítási lehetőség, sok hasonló típusú objektum kezelhető ezzel módszerrel, aránylag nagy számosságú adathalmazok esetén is. Főként az objektumok létrehozásánál és eltávolításánál van nagy jelentősége a csoport használatának. Egyszerűen és átlátható módon lehet ez imént említett műveletet végrehajtani. Továbbiakban *csoportként* hivatkozunk rá.

- **THREE.Scene();**

Szintér, tartalmazza a megjelenítendő objektumokat, fényeket és az ezeket rögzítő kamerát.

- **THREE.PerspectiveCamera( fov, aspect, near, far );**

Perspektív vetítést használó kamera. Ezt a vetítési módot úgy tervezték, hogy utánozza az emberi szem látását. Ez az ortografikus mellett a leggyakoribb vetítési mód, melyet 3D jelenetek rendereléséhez használnak. A konstruktorában megadható paraméterek:

- **fov**

A kamera látószögének a meghatározása. Értéke jelen esetben 75 személyes preferencia alapján.

- **aspect** – szélesség/magasság formátumban

A rezponzivitás növelése érdekében a szélesség illetve magasság mindig egy arányszám. Az oldal lefutásakor az aktuális kijelző képarányának felel meg.

- **near, far**

A kamerától mért távolság értékek. A „near” a közel-síkját még, a „far” a távol-síkját határozza meg. A két érték között lévő objektumok fognak látszódni a megjelenített képen.

- **THREE.WebGLRenderer(canvas: globecanvas, alpha: true , antialias: true);**

Az elkészített objektumokat jeleníti meg a WebGL segítségével. A konstruktorban meg kell adni a megfelelő HTML objektumot amibe megjelenik a háromdimenziós szintér. A többi paraméter esetén pedig az alapbeállításokat használjuk, kettő kivétellel, az elsimítást és az átlátszóságot engedélyezzük. Az elsimítás bár erőforrás igényesebbé teszi az alkalmazást, azonban nagy felbontású monitorokon sem jelennek meg éles határpixelek. Az átlátszóság pedig későbbiekben nélkülözhetetlen az interaktív oldal kezeléséhez, hisz egyes objektumok átlátszóságát a felhasználó

állíthatja.

- **OrbitControls( camera, renderer.domElement );**

A kamera bolygó körüli keringetéséhez szükséges. Ha a kamerát mozgatjuk a Föld körül, azt a hatást kelti, mintha a kamera statikus lenne és a bolygót forgatnánk. Ez azért fontos, mert így tudunk rögzített koordináta-rendszert használni, ami leegyszerűsíti az objektumok helyzetének a számontartását. A natív THREE.js könyvtár ezt nem tartalmazza, így ezt külön hozzá kellett adni. A konstruktorában megadható paraméterek:

- camera

Az irányítani kívánt kamera.

- domElement

Az esemény figyelők által használt HTML elem. Ugyanaz, mint a WebGLRenderer-ben beállított (lásd: 3.1.2).

A fent említett objektumokat, metódusokat az alkalmazás inicializációjakor elég futtatni, mivel a továbbiakban nem változnak.

Azonban az oldal interaktivitása miatt előfordul, hogy objektumok vagy objektum-csoport valamely tulajdonságát kívánjuk megváltoztatni. Ezen műveleteket a felhasználói felületről lehet végrehajtani, amit a 3.4. részben tárgyalunk. Ezek az objektumok és objektum-csoport a Föld, az ezt körülvevő interpolált elektroszmog térkép gömbfelülete és a mérési pontokat reprezentáló gömb-halmaz. Ezekről a 3.3 részben írunk.

## 3.2. Adatfájl beolvasása

Az előkészített adatbázist egy JSON fájl tartalmazza. Az alkalmazás ezt minden oldalbetöltéskor beolvassa. Ezután pedig egy JSON tömbbé alakítja, amit továbbiakban az oldal bármikor elér, ezen képes megfelelő lekérdezéseket végrehajtani.

A tömb egy eleme tartalmazza a mérési pont  $\varphi$ , valamint  $\lambda$  földrajzi koordinátáját (lásd 2.2), az ehhez a méréshez tartozó RSSI értéket egy hozzárendelt színnel, végül egy frekvencia tartomány alsó és felső határát. Lásd 3.1 táblázat.

Jelölés	JSON Attribútum	Lehetséges érték
$\varphi$	X	-123.0
$\lambda$	Y	44.0
RSSI	Rssi	-97.42
$f_{min}$	freq_bin_lower	0.0
$f_{max}$	freq_bin_upper	200.0
Szín	color	0xFEE2D5

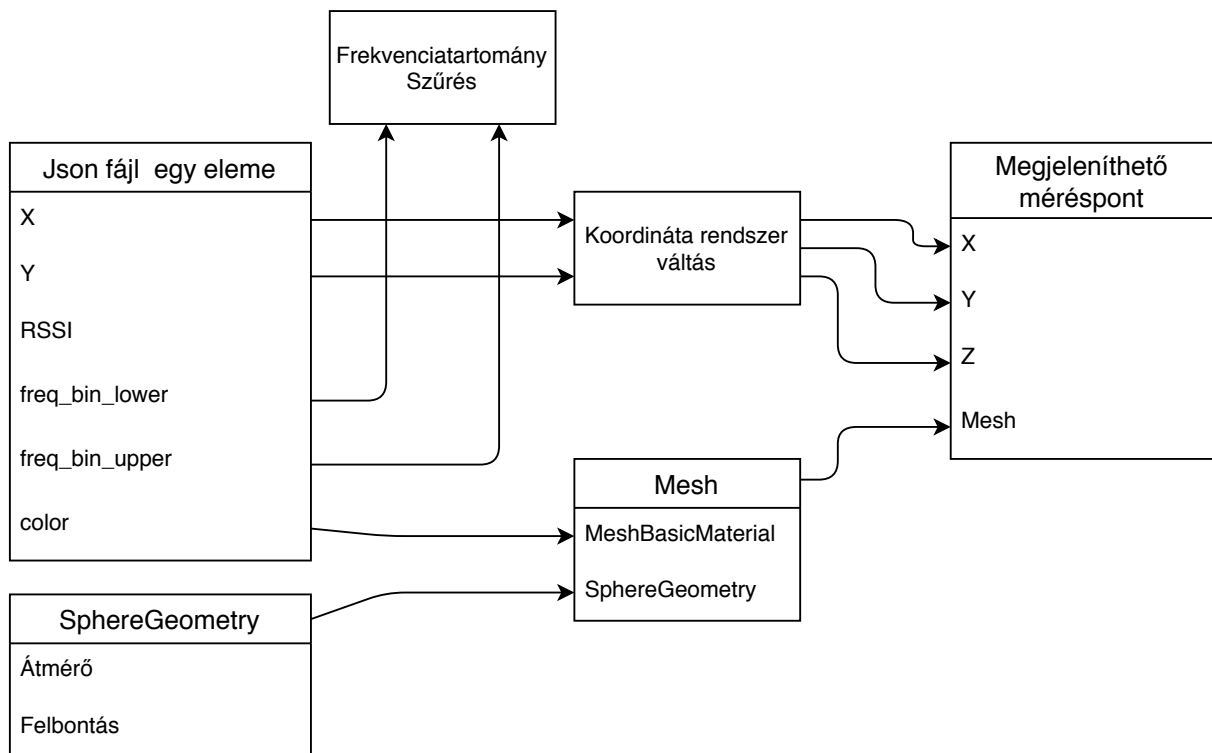
3.1. táblázat. A beolvasott JSON fájl kapcsolata a dolgozat jelöléseivel

## 3.3. Adathalmaz generálása

Az inicializáció közben, még felhasználói interakció előtt meg kell jeleníteni a Földet, az azt körülvevő elektroszmog térképet és a méréspontok helyét reprezentáló gömb halmazt. Ehhez beállítunk alapértelmezettnek egy-egy textúrát a Föld és elektroszmog gömböknek, továbbá egy 300 MHz és 600 MHz közötti frekvenciatartomány szűrést. Átlagosan világszerte ezen a tartományon működnek a digitális műsorszóró adók. A világűrbe jutó elektroszmog szennyezettség nagy százaléka származik innét, és a műholdak fő mérési tartománya is ez volt, tehát ez a tartomány szemléletes adatokat tartalmaz.

### 3.3.1. Méréspontok

A 3.2 pontban leírt módon beolvasott .JSON fájlban az imént említett alapértelmezett frekvenciaszűrést lefuttatva létrehozunk egy szűrt JSON adattömböt. Ezt pedig megkapja egy függvény, ami minden sorból létrehoz egy "méréspont" háromdimenziós gömb objektumot. Ezt pontban mért RSSI értéknek megfelelő színnel látja el. Végül pedig pedig annak helyére állítja azt. Az egész folyamat a 3.3 ábrán látható. Miután helyére kerül a pont, belekerül a méréspontokat tartalmazó csoportba. Az elkészült csoport felkerül a megjelenítésért felelős rétegre is. A felhasználói felületen egyszerre ki- és bekapcsolható lesz az egész csoport ezen tulajdonsága miatt. A frekvencia szűrés módosítása esetén a csoport összes eleme törlésre kerül, az új frekvenciatartományi beállítással pedig újra lefut a leírt függvény.



3.3. ábra. A szűrt adatbázis sorából egy méréspontra

### 3.3.2. Koordináta rendszer váltás

Azonban beérkező mérésponatok helyi földrajzi koordináta-rendszernek megfelelően vannak tárolva, nekünk viszont háromdimenziós koordinátákra van szükségünk, hogy megfelelően tudjuk megjeleníteni a mérésponokat. Ehhez előbb gömbi koordináta-rendszerbe kell átalakítani őket a következő képlet alapján:

$$\phi = (90 - \varphi) \cdot \left(\frac{\pi}{180}\right) + \frac{\pi}{2}, \quad (3.1)$$

$$\theta = (\lambda + 180) \cdot \frac{\pi}{180}, \quad (3.2)$$

ahol  $\phi$  az azimut és  $\theta$  a magassághoz tartozó szög. Lásd 3.4 ábra. A  $\varphi$  illetve  $\lambda$  pedig a mérésponatok GCS (geographic coordinate system) koordinátái.

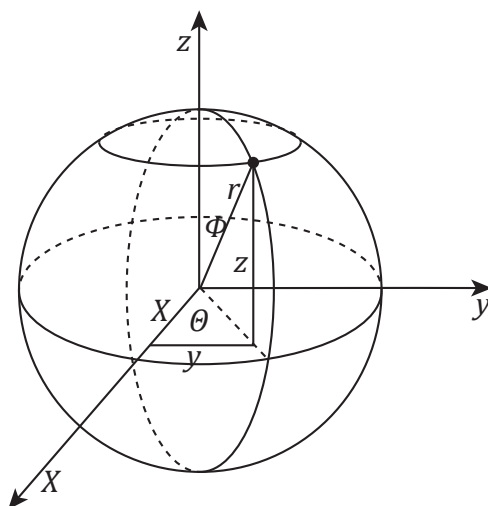
Innét pedig már könnyen átírható háromdimenziós Descartes-féle koordináta-rendszerbe, melynek origója a Föld középpontjában található:

$$X = r \cos(\theta) \cdot \cos(\phi) \quad (3.3)$$

$$Y = -r \sin(\theta) \quad (3.4)$$

$$Z = r \cos(\theta) \sin(\phi) \quad (3.5)$$

ahol  $r$  a műholdak átlagos pályamagasságát ( $\equiv \bar{h}$ ) szimbolizáló konstans,  $\phi$  és  $\theta$  pedig a fentebb kiszámolt (3.1) és (3.2) gömbi-koordináták.



3.4. ábra. A koordináta-rendszerek közötti kapcsolat

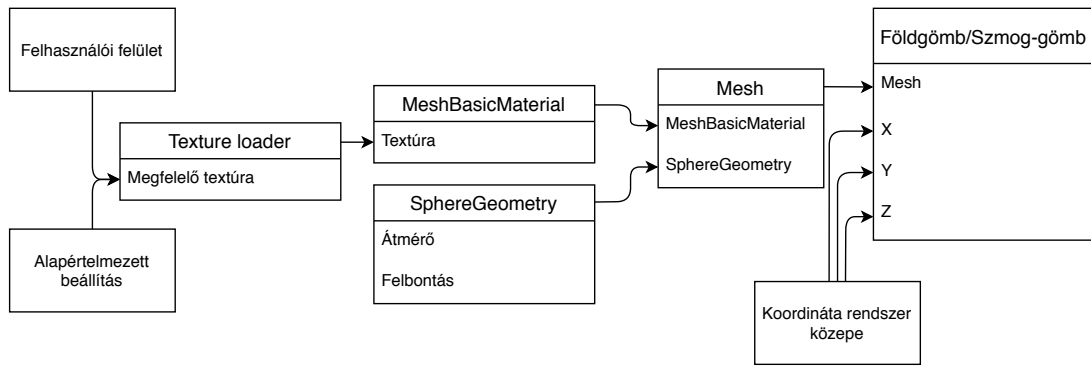
### 3.3.3. Föld és szmogtérkép gömbfelület

A 3.3 szekció elején olvasható módon a Föld és az azt körülvevő elektroszmog térkép is rendelkezik egy alapértelmezett textúrával az inicializációt követően. A Föld textúrázása hasonló, mint az elektroszmog térképé, annyi különbséggel, hogy az előbbi textúrái frekvenciafüggetlenek, míg az utóbbi frekvenciafüggő. Azonban mindkét esetben a folyamat hasonló. Először kiválasztjuk egy „TextureLoader” segítségével a megfelelő textúrát a neve alapján.

- Föld  
A későbbiekben (3.4. alfejezetben) leírt módon, a felhasználói felület segítségével, négy elem közül kiválasztott elem nevével rendelkező fájlt választjuk, a kiválasztott elem változtatását továbbiakban figyeljük.
- Elektroszmog térkép  
Az előző ponthoz képest az okoz nehézséget, hogy ez a textúra frekvenciafüggő. Tehát nem elég a textúra típusok közül a jót kiválasztani, a megfelelő intervallumra is figyelni kell. A felhasználói felületről három paraméter változását kell számon tartani, a minimum és maximum frekvencia, valamint a textúra típusát. Ezekből az adatokból áll össze a keresett textúra neve.

A helyes textúra betöltése után a méréspontokat modellező objektumok létrehozásához hasonló módon kell létrehozni a gömböket. Annyi könnyítés azonban van az imént említett metódushoz képest, hogy itt az X, Y és Z koordináták mind zérus értékűek, hisz ezek a koordináta rendszer közepében helyezkednek el. (Lásd 3.5 ábra) Az elkészült objektumokat külön rétegekre helyezük, így könnyedén megjeleníthetőek vagy elrejtethetőek lesznek.

Amennyiben a fenti felsorolásban említett attribútum változik, úgy a „TextureLoader”-rel kezdve az egész függvényláncot újra lefuttatjuk. Így érjük el az objektumok interaktivitását.



3.5. ábra. A Föld illetve a szmog „gömbök” textúrázása

## 3.4. Felhasználói felület

A felhasználó egy egész oldalt kitöltő weblappal találkozik, ahol megjelenik a jelmagyarázat az oldal bal alsó sarkában, középen a renderelt bolygót láthatja a mérés eredményeivel, míg a jobb felső sarokban az oldal vezérlésére szolgáló menüt találja. Az oldalon képes a bolygót forgatni, ha azt megragadja és elhúzza. Emellett a görgő segítségével képes a megjelenő képbe nagyítani vagy kicsinyíteni.

### 3.4.1. A menü

#### 1. Bolygó és méréspontok (*Globe and Points*)

- Bolygó textúra (*Globe Texture*)

A Föld felszínén megjelenő textúrát lehet itt állítani. Négy opció közül lehet választani. Három textúra jeleníthető meg, egy műholdkép (*Satellite*) és két kontinenshatárokat tartalmazó térkép, világos (*Light coastlines*) és sötét (*Dark coastlines*). Az utóbbi kettő egyenletesebb színe miatt pontosabb RSSI érték leolvasást eredményez. Továbbá egy lehetőség a bolygó elrejtésére.

- Méréspontok eltávolítása/megjelenítése (*Hide/Show measuring points*)

A föld körül megjelenő méréspontokat lehet eltüntetni, illetve megjeleníteni.

#### 2. Elektroszmog térkép (*Smog map*)

- Elektroszmog térkép (*Smog map texture*)

A bolygó körül megjelenő interpolált szmogtextúrát lehet itt állítani

Öt opció közül lehet választani. Négy textúra. Továbbá egy lehetőség a textúra elrejtésére. Első lehetőségünk mérési adatok Vornoj (*Voronoj*) diagramjából készült textúra, ezt akkor érdemes használni, ha nem interpolált értékekre kíváncsi a felhasználó (lásd a 2.5.3 részt).

Amennyiben azonban egy folytonos eloszlású adatok textúráját kívánja megjeleníteni a felhasználó, akkor lehetősége van egy Gauss-simítással elkészített folytonos (*Continuous*) textúrát választani (lásd a 2.5.4 részt).

Kiválasztható még, az ebből készített szintvonalas térkép is, szintvonal-felirattal (*Labeled contour*) vagy anélkül (*Contour*) (lásd a 2.5.5 részt).

- Átlátszóság (*Opacity*)

A megjelenített térkép átlátszóságát lehet állítani pontosan.

#### 3. Frekvencia szűrés (*Frequency filter*)

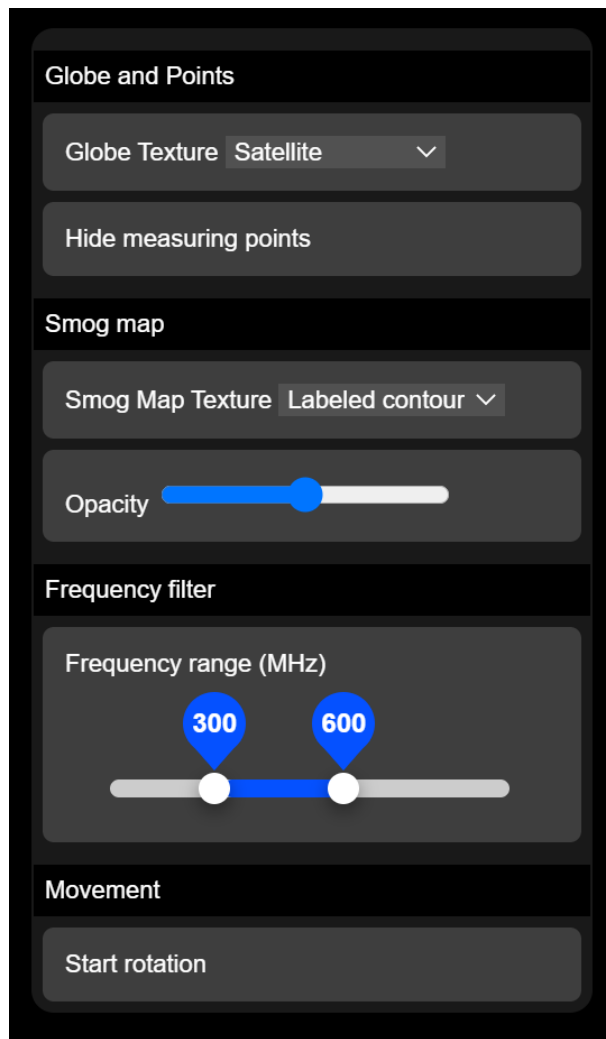
- Frekvencia sáv (*Frequency range (MHz)*)

100 MHz-es felbontással szűrhető a megjelenített adathalmaz. Ez hatással van a Föld körüli szmogtextúrára, valamint a méréspontokra is.

#### 4. Mozgás (*Movement*)

- Föld forgás be-/kikapcsolása (*Start/Stop rotation*)





3.6. ábra. A menü

## 4. fejezet

# Kitekintés

Munkánk végeztével elkészítettünk egy teljes, működő adatfeldolgozási láncot. Ez képes a SMOG-P és ATL-1 műholdak által szolgáltatott nyers űrbéli rádiófrekvenciás adatokat előszűrni, feldolgozni és megjeleníteni, saját fejlesztésű programjaink segítségével. Ennek eredményeképpen többféle módon interpolált és szűrt térképeket tudunk előállítani tetszőleges térképi vetületen, valamint egy háromdimenziós, interaktív felületen is hozzáférhetővé tettük az adatfeldolgozás eredményét.

Jelen dolgozat célját nem képezte ezen eredmények értelmezése: egy olyan feldolgozási rendszert szeretnénk volna létrehozni, mely a későbbi tudományos értelmezések alapjául szolgálhat.

### 4.1. Az adatfeldolgozási lánc jövője

A feldolgozási és megjelenítési lánc az előreláthatóan 2021 első felében pályára állított SMOG-1 műhold adatait is képes lesz majd kezelni. Ezen túl természetesen bármilyen más hasonló misszióval rendelkező műhold adatfeldolgozására is képes lehet kis módosítások után. Mivel a SMOG-1 a tervek szerint egy jelentősen magasabb pályán fog keringeni, fontos, hogy a teljes jelfeldolgozási lánc paramétere a pályamagasság, így különböző keringési magasságú műholdak adatainak feldolgozása sem fog gondot jelenteni.

Rövidtávú célunk az adatbázis bővítése, hiszen minél több adat áll rendelkezésre, annál pontosabb lesz a kapott térkép, a becslés annál közelebb lesz a valósághoz.

#### 4.1.1. Adatfeldolgozás fejlesztési lehetőségei

Az adatfeldolgozás jelenleg aszinkron módon működik, a megfelelő szkriptek manuális indításával történik. Ennek az az elsődleges oka, hogy a feldolgozáshoz szükséges idő- és memóriaigény viszonylag nagy, a műholdak által végzett adatgyűjtés pedig nem volt olyan gyors, hogy sűrű frissítést igényeltek volna az eredmények. Több műhold esetében azonban érdemes lenne automatizált módon, a központi szerveren rendszeres adatfeldolgozást futtatni pl. naponta egyszer. Ehhez a szerver SQL adatbázisával való automatikus kommunikációt kellene csak implementálni, minden más készen áll ehhez a szoftveres oldalról.

Hosszú távú célként az is felmerülhet, hogy az adatfeldolgozás időigényesebb részeit SQL

lekérések formájában valósítsuk meg direktben az adatbázison, akár valós időben. Ezt a jelen dolgozatban végzett munka során azért vetettük el, mert a kezdeti fejlesztést, kísérletezést jelentősen könnyebbé tette a rugalmas szkriptelés. Ha azonban az eredményeink alapján a módszereink hosszú távon is használhatónak bizonyulnak, érdemes lenne ezt a lehetőséget újra megvizsgálni.

Az adatfeldolgozás elméleti oldaláról is számos fejlesztési lehetőség kínálkozik. Az elsődleges fejlesztési lehetőség a térbeli interpoláció: megfelelően sok, különböző pályamagasságon végzett méréssel megfigyelhető lenne, hogy magasság függvényében hogyan változik a rádiófrekvenciás szennyezettség ábrázolása, illetve egy adott magasságra is pontosabb térképek készülhetnének, mint a jelenlegi redukciós közelítéssel.

Más interpolációs módszereket is érdemes lenne kipróbálni: a krigelés pl. kifejezetten ígéretes lehetőség, hiszen egy térbeli mező mérések alapján legvalószínűbb eloszlásának meghatározására alkalmas. Ehhez megítélésünk szerint vagy több adatra lenne szükség, hogy minél több mérési ponthoz rendelkezünk megfelelő műhold-orientációban végzett méréssel, vagy a műhold orientációjának jobb ismeretére ill. jobb térbeli szűrési módszerre lenne szükség.

#### 4.1.2. Weboldal fejlesztési lehetőségei

A weboldal továbbfejleszthető lenne:

- Backend alkalmazásával,  
Egy korszerű backend használatával lehetőség nyílna adatbázis kezelésre. Ez tovább egyszerűsíthetné létrehozott objektumok kezelését, számontartását.
- A méréspontok adatainak tárolása  
A szűréssel és összevonással számos nyers mérési eredményt elrejtünk a felhasználó elől. Ezen lehetne javítani, ha az egyes méréspontok helyein lévő objektumok is interaktívak lennének, és azokkal interakcióba lépve lekérhetőek lennének a mérés rendelkezésre álló további körülményei, eredményei.
- A mérési adatok térbeli kezelése  
Hosszabb távú fejlesztési lehetőség, azonban tanulságos következtetéseket lehetne levonni, ha nem csak földrajzi koordináták szerint készülne el a térkép, hanem a mérések magasságát is figyelembe vennénk.
- Más típusú mérési eredmények megjelenítése  
A webalkalmazás sok szempontból független az adatok tartalmával: más, térbeli helyhez kötődő mérés eredményeinek megjelenítésére is lehetne alkalmazni.

## 4.2. Az eredmények alkalmazhatósága

A műholdak tervezői és üzemeltetői által létrehozott platformra építve, munkánk eredményeképp a világon először készült több, a Földet körülvevő rádiófrekvenciás, elektromágneses szennyezettséget ábrázoló térkép.

Ennek felhasználási lehetőségei igen sokrétűek. Rávilágíthat arra, hogy mennyire pazarlókak a jelenleg használt infokommunikációs eljárásaink: a földi telekommunikációs szolgál-

tatók által kibocsájtott jelek valóban észlelhetőek a Föld körüli pályán, annak ellenére, hogy erre valójában semmi szükség. Különbéféle műholdak tervezőinek, üzemeltetőinek is hasznára válhat egy ilyen térkép, hiszen ha az eddigi tendencia folytatódik, egyre rosszabb jel-zajviszonnyal kell számolni jövőbeli műholdjaink esetén. Ezt le lehet küzdeni nagyobb adóteljesítménnyel a földi állomás-műhold viszonylatban, de még jobb lenne az igazán sok elektromágneses szennyezést kibocsájtó területek adásait optimalizálni: ebben is segíthet egy ilyen térkép. A térkép azonban önmagában csak egy eszköz azok közül, melyek egy ilyen munkát segíthetnek. A részletes spektrum-adatok nagyobb felbontású feldolgozása is szükséges lenne a legnagyobb szennyezők meghatározásához.

Az általunk készített térképek nem csak tudományos, hanem oktatási és ismeretterjesztő célokra is alkalmazhatóak. Az elektromágneses tér és műszaki felhasználása meglehetősen absztrakt dolog, azonban a mi térképeink látványosan és könnyen értelmezhető módon jelenítik meg a Föld lakóinak ilyen vetületű tevékenységeit. Az űrbéli perspektíva más nézőpontba helyezheti a TV-adók, mobiltelefonok mindennapi, mégis különös világát. A térképekre ránézve egyértelmű, hogy az emberiség – sok más dologhoz hasonlóan – egyetlen elektromágneses teren osztozik, ennek átgondolt, pazarlás nélküli felhasználása mindannyiunk közös érdeke.

# Köszönetnyilvánítás

Köszönettel tartozunk Dr. Dudás Levente konzulensünknek támogatásáért, hasznos meg-látásaiért és végtelen lelkesedéséért; Dr. Gschwindt András Bandi bácsinak, hogy megke-reste a BME Kozmosz Kört ezzel a lehetőséggel, majd rendszeres tanácsokkal segítette a munkánk; Hödl Emil Viktornak, hogy a műhoddal és üzemeltetésével, valamint a honlap elérhetővé tételével kapcsolatos kérdéseinkre mindig türelmesen és tartalmasan válaszolt.

Hálásak vagyunk és gratulálunk a *Zsebi* projekt minden tagjának, akik sok éves kemény munkájukkal lehetővé tették, hogy két hibátlanul működő magyar műegyetemi műhold adataira építhessük ezt a dolgozatot.

Markotics Boldizsár köszöni továbbá Kovács Marcellnek, hogy kérdéseivel fordulhatott hozzá véleményéért, projekt kezdetétől a végéig.

Végül Takács Donát köszönettel tartozik az Építőmérnöki Kar Általános- és Felsőgeodézia Tanszékéről Dr. Rózsa Szabolcs és Dr. Toronyi Bence tanár uraknak, akik nem csak lehetővé tették számára a karok és szakok közötti rendhagyó áthallgatást, de el is mélyítették benne a geodézia iránti érdeklődést, és átadott tudásukkal közvetve stabilabb elméleti alapokra helyezték egy gépész- és egy villamosmérnök hallgató által írt dolgozat földrajzi gondolatait, számításait.

# Irodalom

- [1] Astropy Collaboration és tsai. „Astropy: A community Python package for astronomy”. *aap* 558 (2013. okt.). `_eprint`: 1307.6212, A33. DOI: 10.1051/0004-6361/201322068.
- [2] Astropy Collaboration és tsai. „The Astropy Project: Building an Open-science Project and Status of the v2.0 Core Package”. *aj* 156.3 (2018. szept.). `_eprint`: 1801.02634, 123. old. DOI: 10.3847/1538-3881/aabc4f.
- [3] Marco A. Azpurua és K. Dos Ramos. „A comparison of spatial interpolation methods for estimation of average electromagnetic field magnitude”. *Progress In Electromagnetics Research M* 14 (2010), 135–145. old. ISSN: 1937-8726. DOI: 10.2528/PIERM10083103. URL: <http://www.jpier.org/PIERM/pier.php?paper=10083103> (elérés dátuma 2020. 10. 22.).
- [4] *Catalog of Earth Satellite Orbits*. Publisher: NASA Earth Observatory. 2009. szept. 4. URL: <https://earthobservatory.nasa.gov/features/OrbitsCatalog/page2.php> (elérés dátuma 2020. 10. 23.).
- [5] Levente Dudás, László Szűcs és András Gschwindt. „The spectrum monitoring system by Smog-1 satellite”. *2015 Conference on Microwave Techniques (COMITE)*. 2015 Conference on Microwave Techniques (COMITE). Pardubice, Czech Republic: IEEE, 2015. ápr., 1–4. old. ISBN: 978-1-4799-8121-2 978-1-4799-8123-6. DOI: 10.1109/COMITE.2015.7120316. URL: <http://ieeexplore.ieee.org/document/7120316/> (elérés dátuma 2020. 10. 23.).
- [6] Gábor Géczy. „A SMOG-1 PocketQube másodlagos energiaellátó rendszere”. MSc diplomaterv. Budapest: Budapesti Műszaki és Gazdaságtudományi Egyetem, 2016. URL: [http://gnd.bme.hu/smog/files/publikaciok/gabor\\_eps2/Geczy\\_Gabor\\_MSc\\_Diplomaterv\\_3\\_v0\\_t.pdf](http://gnd.bme.hu/smog/files/publikaciok/gabor_eps2/Geczy_Gabor_MSc_Diplomaterv_3_v0_t.pdf).
- [7] Charles R. Harris és tsai. „Array programming with NumPy”. *Nature* 585.7825 (2020. szept. 17.), 357–362. old. ISSN: 0028-0836, 1476-4687. DOI: 10.1038/s41586-020-2649-2. URL: <http://www.nature.com/articles/s41586-020-2649-2> (elérés dátuma 2020. 10. 22.).
- [8] John D. Hunter. „Matplotlib: A 2D Graphics Environment”. *Computing in Science & Engineering* 9.3 (2007), 90–95. old. ISSN: 1521-9615. DOI: 10.1109/MCSE.2007.55. URL: <http://ieeexplore.ieee.org/document/4160265/> (elérés dátuma 2020. 10. 22.).
- [9] Tibor Kálmán. „SMOG-1 műhold földi állomás kliensszoftver fejlesztése”. BSc szakdolgozat. Budapest: Budapesti Műszaki és Gazdaságtudományi Egyetem, 2016. URL: [http://gnd.bme.hu/smog/files/publikaciok/kalman\\_tibor/kalman\\_tibor\\_szakdolgozat.pdf](http://gnd.bme.hu/smog/files/publikaciok/kalman_tibor/kalman_tibor_szakdolgozat.pdf).
- [10] László Kozma és Zoltán Kovács. *Görbék és felületek elemi differenciálgeometriája*. Debrecen-Nyíregyháza, 2011. URL: <http://zeus.nyf.hu/~kovacs/dghome/index.html>.

- [11] András Krauter. *Geodézia*. Budapest: Műegyetemi Kiadó, 1995. 346 old.
- [12] B. Li és tsai. „Method for yielding a database of location fingerprints in WLAN”. *IEE Proceedings - Communications* 152.5 (2005), 580. old. ISSN: 13502425. DOI: 10.1049/ip-com:20050078. URL: [https://digital-library.theiet.org/content/journals/10.1049/ip-com\\_20050078](https://digital-library.theiet.org/content/journals/10.1049/ip-com_20050078) (elérés dátuma 2020. 10. 22.).
- [13] Wes McKinney. „Data Structures for Statistical Computing in Python”. Python in Science Conference. Austin, Texas, 2010, 56–61. old. DOI: 10.25080/Majora-92bf1922-00a. URL: <https://conference.scipy.org/proceedings/scipy2010/mckinney.html> (elérés dátuma 2020. 10. 22.).
- [14] Met Office. *Cartopy: a cartographic python library with a matplotlib interface*. Exeter, Devon, 2010. URL: <https://scitools.org.uk/cartopy>.
- [15] Louis Moresi és Ben Mather. „Stripy: A Python module for (constrained) triangulation in Cartesian coordinates and on a sphere.” *Journal of Open Source Software* 4.38 (2019. jún. 13.), 1410. old. ISSN: 2475-9066. DOI: 10.21105/joss.01410. URL: <http://joss.theoj.org/papers/10.21105/joss.01410> (elérés dátuma 2020. 10. 22.).
- [16] Levente Pápay. *SMOG-1 Antennanyitás*. URL: [http://gnd.bme.hu/smog/files/publikaciok/levi\\_ant/SMOG\\_1\\_antennanyitas.pdf](http://gnd.bme.hu/smog/files/publikaciok/levi_ant/SMOG_1_antennanyitas.pdf).
- [17] Robert J. Renka. „Algorithm 772: STRIPACK: Delaunay triangulation and Voronoi diagram on the surface of a sphere”. *ACM Transactions on Mathematical Software* 23.3 (1997. szept.), 416–434. old. ISSN: 0098-3500, 1557-7295. DOI: 10.1145/275323.275329. URL: <https://dl.acm.org/doi/10.1145/275323.275329> (elérés dátuma 2020. 10. 22.).
- [18] Robert J. Renka. „Algorithm 773: SSRFPACK: interpolation of scattered data on the surface of a sphere with a surface under tension”. *ACM Transactions on Mathematical Software* 23.3 (1997. szept.), 435–442. old. ISSN: 0098-3500, 1557-7295. DOI: 10.1145/275323.275330. URL: <https://dl.acm.org/doi/10.1145/275323.275330> (elérés dátuma 2020. 10. 22.).
- [19] *Three.js documentation*. Three.js Authors. 2020. URL: <https://threejs.org/docs/index.html#manual/en/introduction/Creating-a-scene> (elérés dátuma 2020. 10. 20.).
- [20] Kristóf Timur. „SMOG-1 fedélzeti számítógép fejlesztése”. BSc szakdolgozat. Budapest: Budapesti Műszaki és Gazdaságtudományi Egyetem, 2017. URL: [http://gnd.bme.hu/smog/files/publikaciok/timur\\_obc/SMOG1-fedelzeti-szamitogep-fejlesztese-Dolgozat-5.pdf](http://gnd.bme.hu/smog/files/publikaciok/timur_obc/SMOG1-fedelzeti-szamitogep-fejlesztese-Dolgozat-5.pdf).
- [21] RJ Twiggs. „Making it small”. *Cal Poly Developers’ Workshop*. 2009.
- [22] *Úrvilág.hu - A SMOG és az ATL-1*. URL: [http://www.urvilag.hu/velemenyek/20201011\\_a\\_smog\\_es\\_az\\_atl1](http://www.urvilag.hu/velemenyek/20201011_a_smog_es_az_atl1) (elérés dátuma 2020. 10. 23.).
- [23] *Úrvilág.hu - Magyar világrekord az űrben*. URL: [http://www.urvilag.hu/hazai\\_kutatohelyek\\_es\\_uripar/20191216\\_magyar\\_vilagrekord\\_az\\_urben](http://www.urvilag.hu/hazai_kutatohelyek_es_uripar/20191216_magyar_vilagrekord_az_urben) (elérés dátuma 2020. 10. 23.).
- [24] Pauli Virtanen és tsai. „SciPy 1.0: Fundamental Algorithms for Scientific Computing in Python”. *Nature Methods* 17 (2020), 261–272. old. DOI: 10.1038/s41592-019-0686-2.

# Ábrák jegyzéke

1.1.	Az ATL-1 (balra) és a SMOG-P (jobbra) a start előtt. (Kép forrása: Alba Orbital) . . . . .	6
1.2.	A SMOG-P és az ATL-1 12 órányi pályája 2020. március 9-én. Ekkor már láthatóan elvált a két műhold pályája, bár hasonlóak maradtak. . . . .	7
1.3.	A két műhold pályamagasságának alakulása az idő függvényében. . . . .	7
1.4.	A dolgozat tárgyát képező jelfeldolgozási láncot ábrázoló diagram. . . . .	9
2.1.	A két műhold által végzett mérések térbeli eloszlása. . . . .	13
2.2.	A mérési magasság és gyakoriság a két műhold adataiban, az idő függvényében. A piros vonal a középfelület magasságát jelöli. . . . .	14
2.3.	A használt ikozahedrális háló finomításának első négy iterációja. . . . .	16
2.4.	A látókör paramétereinek kiszámítása gömb alakú Föld közelítéssel, $\bar{h}$ közepes magasságú kör alakú pálya esetén. (Az ábra nem méretarányos.) . . .	17
2.5.	Egy $k = 7$ paraméterű ikozahedrális (piros) és egy $\tilde{k} = 6$ paraméterű (kék) rács összehasonlítása Magyarország felett (Mollweide-vetület). . . . .	18
2.6.	Az előszűréssel és összevonással kapott mérési pontok eloszlása, Mollweide vetületen ábrázolva. . . . .	19
2.7.	Az interpolálatlan mérési eredményekkel kapott Voronoi-cellák ábrázolása Robinson-vetületen. . . . .	19
2.8.	Az IDW interpolációval kapott eredmények ábrázolása Robinson-vetületen.	20
2.9.	A Gauss-simítással kapott térkép, Robinson-vetületen. . . . .	21
2.10.	A Gauss-simítással kapott térkép azonos RSSI-értékekhez tartozó szintvonalai. . . . .	21
3.1.	Az elkészült weboldal . . . . .	23
3.2.	Az oldal vázlatos felépítése . . . . .	24
3.3.	A szűrt adatbázis sorából egy méréspontra . . . . .	28
3.4.	A koordináta-rendszerek közötti kapcsolat . . . . .	29
3.5.	A Föld illetve a szmog „gömbök” textúrázása . . . . .	30
3.6.	A menü . . . . .	32



# Táblázatok jegyzéke

2.1.	A mérések körülményeit tartalmazó tábla oszlopai . . . . .	11
2.2.	A mérések eredményeit tartalmazó tábla oszlopai . . . . .	11
2.3.	A műholdak pozícióját tartalmazó tábla . . . . .	11
2.4.	A mérési adattáblák . . . . .	11
2.5.	Az egyesített adattábla oszlopai . . . . .	11
2.6.	Az adatfeldolgozás paraméterei. . . . .	22
3.1.	A beolvasott JSON fájl kapcsolata a dolgozat jelöléseivel . . . . .	27

# A. függelék

## SQL lekérdezés

```
1 SELECT
2   smogp_spa.timestamp,
3   smogp_spa_data.frequency,
4   smogp_spa_data.rssi,
5   ROUND(smogp_position.longitude,0) AS longitude,
6   ROUND(smogp_position.latitude,0) AS latitude,
7   smogp_position.altitude
8 FROM
9   smogp_spa INNER JOIN smogp_spa_data ON smogp_spa_data.spa_id =
10  smogp_spa.id INNER JOIN smogp_position ON smogp_position.datetime
11  = smogp_spa.timestamp
12 UNION ALL
13 SELECT
14   smogp_spa_measurement.timestamp,
15   smogp_spa_data_measurement.frequency,
16   smogp_spa_data_measurement.rssi,
17   ROUND(smogp_position.longitude,0) AS longitude,
18   ROUND(smogp_position.latitude,0) AS latitude,
19   smogp_position.altitude
20 FROM
21   smogp_spa_measurement INNER JOIN smogp_spa_data_measurement ON
22   smogp_spa_data_measurement.spa_id = smogp_spa_measurement.id INNER
23   JOIN smogp_position ON smogp_position.datetime =
24   smogp_spa_measurement.timestamp
```

## B. függelék

# Adatfeldolgozás implementációja

Az SQL-adatbázisból letöltött adatokat Python nyelven írt szkriptekkel dolgoztuk fel. A fő szkript a `final_generator.py` (B.2), melynek megadhatóak a 2.6. táblázat szerinti paraméterek. Ez két eljárást hív meg, melyeket a `generate_texture.py` (B.3) és `generate_texture_freq.py` (B.4) fájlok tartalmazzák. Előbbi a teljes mérési frekvencia-tartományra készíti el a textúrákat és a szűrt-interpolált adatpontokat, míg az utóbbi az interaktív felületen kiválasztható frekvencia-tartományokra generálja a megfelelő textúrákat a (2.10) szerinti adathalmazokból. A gyakran használt eljárásokat az `rss_processing.py` (B.1) fájl tartalmazza. Mivel az olvasót elsősorban ezek érdekelhetik, ezt közöljük először, azonban a teljesség kedvéért a többi részt is megadjuk lentebb.

### B.1. Gyakran használt metódusok

```
1 # rssi_processing.py
2
3 import pandas as pd
4 import matplotlib.pyplot as plt
5
6 import numpy as np
7 from numpy.linalg import norm
8
9 from datetime import datetime, timedelta, timezone
10
11 from scipy.integrate import trapz
12 from scipy.interpolate import griddata
13 from scipy.ndimage import gaussian_filter
14
15 import stripy as stripy
16 from stripy.spherical import lonlat2xyz
17
18 from math import pi, cos, sin
19
20 import cartopy
21 import cartopy.crs as ccrs
22
23 from astropy.convolution import convolve_fft, Gaussian2DKernel
24
25 import matplotlib as mpl
26
27
```

```

28 def select_usable_data(
29     csv, spatial_res_deg=1, frequency_res_mhz=100, reduce_by_altitude=
    True
30 ):
31     # Magasság-redukció
32     mean_altitude = csv["altitude"].mean()
33     if reduce_by_altitude:
34         csv["rssi"] = power_to_rssi(
35             rssi_to_power(csv["rssi"]) * csv["altitude"] ** 2 /
mean_altitude ** 2
36         )
37     rssi_df = csv.drop(columns=["timestamp", "altitude"])
38
39     # Hz->MHz
40     rssi_df["frequency_mhz"] = rssi_df["frequency"] / 1000000
41     rssi_df.drop(columns=["frequency"], inplace=True)
42     print("Kiinduló adathalmaz mérete: {0} sor".format(len(rssi_df)))
43
44     # Csoportosítások térbeli és frekvencia-régiók szerint
45     spatial_res_deg_lat = spatial_res_deg
46     spatial_res_deg_lon = spatial_res_deg
47
48     rssi_df["lat_rounded"] = (
49         spatial_res_deg_lat * (rssi_df["latitude"] / spatial_res_deg_lat
    ).round()
50     )
51     rssi_df["long_rounded"] = (
52         spatial_res_deg_lon * (rssi_df["longitude"] /
    spatial_res_deg_lon).round()
53     )
54     rssi_df["freq_rounded"] = frequency_res_mhz * (
55         (rssi_df["frequency_mhz"] / frequency_res_mhz).round()
56     )
57
58     grouped_rssi = rssi_df.groupby(["lat_rounded", "long_rounded", "
    freq_rounded"])
59     max_idx = grouped_rssi["rssi"].transform(max) == rssi_df["rssi"]
60     max_rssi = rssi_df[max_idx].copy()
61     max_grouped = max_rssi.groupby(["lat_rounded", "long_rounded", "
    freq_rounded"])
62
63     # Összevonás
64     rssi_ret = pd.DataFrame(
65         columns=["long_rounded", "lat_rounded", "long", "lat", "freq_mhz
    ", "rssi"]
66     )
67     rssi_ret["lat"] = max_grouped["latitude"].mean().values
68     rssi_ret["long"] = max_grouped["longitude"].mean().values
69     rssi_ret["freq_mhz"] = max_grouped["frequency_mhz"].mean().values
70     rssi_ret["rssi"] = max_grouped["rssi"].max().values.astype("float")
71
72     max_grouped_reset = max_grouped["rssi"].max().reset_index()
73     rssi_ret["lat_rounded"] = max_grouped_reset["lat_rounded"]
74     rssi_ret["long_rounded"] = max_grouped_reset["long_rounded"]
75
76     # Kerekítés
77     rssi_ret["lat"] = np.round(rssi_ret["lat"], decimals=2)
78     rssi_ret["long"] = np.round(rssi_ret["long"], decimals=2)
79

```

```

80     print("Összevont adathalmaz mérete: {0} sor".format(len(rssi_ret)))
81
82     return mean_altitude, rssi_ret.sort_values(by=["long", "lat", "
freq_mhz"])
83
84
85 def import_usable(csv_files, spatial_res_deg=1, frequency_res_mhz=100):
86     # Több, RSSI-méréseket tartalmazó CSV fájlt olvas be, melyeket egyes
87     # ít és
88     # térben és frekvencia szerint csoportosít, majd szűr.
89
90     if not isinstance(csv_files, (list,)):
91         raise ValueError("Input must be a list.")
92     else:
93         pass
94
95     spa_data = []
96
97     for csv_file in csv_files:
98         spa_data.append(pd.read_csv(csv_file))
99
100    concat = pd.concat(spa_data, ignore_index=True)
101
102    del spa_data # Manuális GC, hogy memóriát spóroljunk
103
104    return select_usable_data(concat, spatial_res_deg, frequency_res_mhz
)
105
106
107 def rssi_to_power(rssi):
108     return 10 ** (rssi / 10)
109
110
111 def power_to_rssi(power):
112     return 10 * np.log10(power)
113
114
115 def clean_x_gaps(x, threshold=1):
116     # Cleans gaps in x (e.g. frequency or time) arrays
117     # longer than threshold
118     diff = np.ediff1d(x)
119     diff2 = diff[diff > threshold] - 1
120     indices = np.indices(diff.shape)[
121         0,
122     ][diff > threshold]
123     subtract = np.zeros((len(diff2), len(x)))
124     i1, i2 = np.indices(subtract.shape)
125     subtract[i2 > np.repeat(np.atleast_2d(indices), len(x), axis=0).T] =
126     1
127     subtract = np.sum(subtract * np.atleast_2d(diff2).T, axis=0)
128     return x - subtract
129
130 def rssi_power_rms(frequency, rssi, gap_threshold_mhz=10):
131     # Bemenet: rssi
132     # Kimenet: RSSI-ből számított teljesítmény RMS-e, RSSI-be viaszázá
133     molva

```

```

134     if len(frequency) > 1:
135         return power_to_rssi(
136             np.sqrt(
137                 trapz(x=frequency, y=rssi_to_power(rssi) ** 2)
138                 / (frequency.max() - frequency.min())
139             )
140         )
141     else:
142         return rssi[0]
143
144
145 def rssi_power_rms_fp(frequency, rssi, gap_threshold_mhz=10):
146     # Bemenet: rssi
147     # Kimenet: RSSI-ből számított teljesítmény RMS-e, RSSI-be viaszázá
148     # Kiterjeszti az rssi_power_rms eljárást úgy, hogy a nagy réseket
149     # kihagyja az integrálásból
150
151     if len(frequency) > 1:
152         freq_compact = clean_x_gaps(frequency, gap_threshold_mhz)
153         return power_to_rssi(
154             np.sqrt(
155                 trapz(x=freq_compact, y=rssi_to_power(rssi) ** 2)
156                 / (freq_compact.max() - freq_compact.min())
157             )
158         )
159     else:
160         return rssi[0]
161
162
163 def average_grouped(grouped, averaging_method="power_rms",
164                     gap_threshold_mhz=10):
165     # Bemenet: (n,7) DataFrame, n: frekvenciák
166     # Kimenet: (1,7) Series
167     if averaging_method == "power_rms_gapless":
168         rssi_avg = rssi_power_rms_fp(
169             grouped["freq_mhz"].values,
170             grouped["rssi"].values,
171             gap_threshold_mhz
172         )
173     elif averaging_method == "power_rms":
174         rssi_avg = rssi_power_rms(
175             grouped["freq_mhz"].values,
176             grouped["rssi"].values)
177     elif averaging_method == "rssi_mean":
178         rssi_avg = grouped["rssi"].mean()
179
180     long = grouped["long"].mean()
181     lat = grouped["lat"].mean()
182
183     return pd.Series(
184         data={
185             "long": long,
186             "lat": lat,
187             "rssi": rssi_avg,
188         }
189     )
190

```

```

191 def average_rounded_rssi(rssi_rounded, gap_threshold_mhz=None):
192     return (
193         rssi_rounded.sort_values(by="freq_mhz")
194         .groupby(by=["long_rounded", "lat_rounded"])
195         .apply(
196             lambda grouped: average_grouped(
197                 grouped, gap_threshold_mhz=gap_threshold_mhz
198             )
199         )
200         .reset_index(drop=True)
201     )
202
203
204 def xyz_dist_latlon(lons1, lats1, lons2, lats2):
205     x1, y1, z1 = lonlat2xyz(lons1, lats1)
206     x2, y2, z2 = lonlat2xyz(lons2, lats2)
207     return np.sqrt((x2 - x1) ** 2 + (y2 - y1) ** 2 + (z2 - z1) ** 2)
208
209
210 def IDW_interpolate_rssi(
211     lons_rad, lats_rad, rssi, mesh, los_distance_limit, mean_altitude
212 ):
213
214     power = rssi_to_power(rssi)
215
216     Re = 6378 # Föld sugara, km
217     Re += mean_altitude # Erre a magasságra redukáltuk a méréseket
218     # Gömbi távolság, \tilde{d}*
219     distance_limit = np.arcsin(los_distance_limit / Re) * Re
220
221     # Meg kell adni, hogy hány pont lehet maximum a kívánt távolságban
222     # Ez egy elegendően jó becslés lesz, hogy ne indexeljünk ki
223     A_cap = 2 * pi * Re ** 2 * (1 - cos(distance_limit / Re))
224     A_sphere = 4 * Re ** 2 * pi
225     npoints = np.round(0.9 * A_cap / A_sphere * len(mesh.lons))
226
227     # Interpolációban részt vevő pont-környezetek kiválasztása
228     # A stripy szerint a gömb sugara egységnyi!
229     distances, vertices = mesh.nearest_vertices(
230         lons_rad, lats_rad, k=npoints, max_distance=distance_limit / Re
231     )
232
233     # Maga az interpoláció
234     numerators = np.zeros_like(mesh.lons)
235     denominators = np.zeros_like(mesh.lons)
236
237     for i in range(0, vertices.shape[0]):
238         vi = vertices[i, :]
239         di = xyz_dist_latlon(lons_rad[i], lats_rad[i], mesh.lons[vi],
240 mesh.lats[vi])
241         wi = 1 / di ** 2
242         numerators[vi] += wi * power[i]
243         denominators[vi] += wi
244
245     power_idw_mesh = numerators / denominators
246     rssi_idw_mesh = power_to_rssi(power_idw_mesh)
247
248     return rssi_idw_mesh

```

```

249
250 def voronoi_rssi(lons_rad, lats_rad, rssi, fmesh):
251     measurement_triangulation = stripy.sTriangulation(
252         lons=lons_rad, lats=lats_rad, permute=True
253     )
254
255     interp_fine, err = measurement_triangulation.interpolate(
256         fmesh.lons, fmesh.lats, order=0, zdata=rssi
257     )
258
259     return interp_fine
260
261
262 def plate_carree_interpolation(
263     lons_rad,
264     lats_rad,
265     rssi,
266     points_per_deg=12,
267     gauss_sigma_deg=None,
268     ext=20,
269     wraparound=True,
270     method="linear",
271 ):
272
273     # Ez a vetítés szükséges a 3D-s vizualizáció textúráihoz
274
275     ext = 20
276     ngridx = (360 + 2 * ext) * points_per_deg
277     ngridy = (180 + 2 * ext) * points_per_deg
278
279     xi = np.linspace(-180 - ext, 180 + ext, ngridx, dtype="float16")
280     yi = np.linspace(-90 - ext, 90 + ext, ngridy, dtype="float16")
281
282     lons0 = np.degrees(lons_rad)
283     lats0 = np.degrees(lats_rad)
284
285     lons_rad = None
286     lats_rad = None
287     del lons_rad
288     del lats_rad
289
290     # wraparound
291     right_wrap = lons0 < (-180 + ext)
292     left_wrap = lons0 > (180 - ext)
293     lons0 = np.append(
294         lons0, np.concatenate((lons0[right_wrap] + 360, lons0[left_wrap]
295         - 360))
296     )
297     lats0 = np.append(lats0, np.concatenate((lats0[right_wrap], lats0[
298     left_wrap])))
299     rssi = np.append(rssi, np.concatenate((rssi[right_wrap], rssi[
300     left_wrap])))
301
302     # vertical mirror
303     top_mirror = lats0 > (90 - ext)
304     bottom_mirror = lats0 < (-90 + ext)
305     lons0 = np.append(lons0, np.concatenate((lons0[top_mirror], lons0[
306     bottom_mirror])))
307     lats0 = np.append(

```



```

304     lats0, np.concatenate((-lats0[top_mirror] + 180, -lats0[
bottom_mirror] - 180))
305     )
306     rssi = np.append(rssi, np.concatenate((rssi[top_mirror], rssi[
bottom_mirror])))
307
308     zi = griddata((lons0, lats0), rssi, (xi[None, :], yi[:, None]),
method=method)
309
310     lons0 = None
311     lats0 = None
312     del lons0
313     del lats0
314     if gauss_sigma_deg is not None:
315         kernel = Gaussian2DKernel(x_stddev=gauss_sigma_deg *
points_per_deg)
316         zi = convolve_fft(zi, kernel, allow_huge="True", complex_dtype=
np.complex64)
317
318     edge = ext * points_per_deg
319     zi = zi[edge:-edge, edge:-edge]
320     return xi[edge:-edge], yi[edge:-edge], zi
321
322
323 def plot_texture(zi, filename, cmap="viridis", **kwargs):
324     # Textúrák a 3D-s térképhez
325     fig = plt.figure(frameon=False, figsize=(16, 8))
326     fig.subplots_adjust(bottom=0)
327     fig.subplots_adjust(top=1)
328     fig.subplots_adjust(right=1)
329     fig.subplots_adjust(left=0)
330
331     plt.axis("off")
332     plt.imshow(
333         zi, cmap=cmap, origin="lower", aspect="auto", interpolation="
lanczos", **kwargs
334     )
335     plt.savefig(filename, dpi=2048 / 4, transparent=True)
336     plt.close(fig)
337
338
339 def plot_contour_level_texture(
340     xi,
341     yi,
342     zi,
343     filename,
344     levels=9,
345     vmin=-120,
346     vmax=-40,
347     cmap="viridis",
348     transparent=True,
349     labels=True,
350 ):
351     fig = plt.figure(frameon=False, figsize=(16, 8))
352     fig.subplots_adjust(bottom=0)
353     fig.subplots_adjust(top=1)
354     fig.subplots_adjust(right=1)
355     fig.subplots_adjust(left=0)
356

```

```

357     plt.axis("off")
358     CS = plt.contour(xi, yi, zi, levels=levels, vmin=vmin, vmax=vmax,
359                    cmap=cmap)
360     if labels is True:
361         CS.levels = ["{0:.0f} dBm".format(l) for l in CS.levels]
362         plt.clabel(CS, CS.levels, inline=True, fontsize=10)
363     plt.savefig(filename, dpi=2048 / 4, transparent=transparent)
364     plt.close(fig)
365
366 def plot_mollweide(
367     lons_rad,
368     lats_rad,
369     rssi,
370     filename,
371     cmap="viridis",
372     coastline_color="#777777",
373     plot_measurement_points=False,
374     lons_meas_rad=None,
375     lats_meas_rad=None,
376     figsize=(10, 5),
377     s=5,
378     transparent=False,
379     colorbar=False,
380     color_by_rssi=True,
381     **kwargs
382 ):
383
384     fig = plt.figure(figsize=figsize, facecolor="none", dpi=150)
385     ax = plt.subplot(111, projection=ccrs.Mollweide())
386
387     ax.coastlines(color=coastline_color)
388     ax.set_global()
389
390     lons0 = np.degrees(lons_rad)
391     lats0 = np.degrees(lats_rad)
392
393     if not color_by_rssi:
394         rssi = None
395
396     sc = ax.scatter(
397         lons0,
398         lats0,
399         marker="o",
400         s=s,
401         alpha=1,
402         transform=ccrs.PlateCarree(),
403         c=rssi,
404         cmap=cmap,
405         label="rssi (dBm)",
406         **kwargs
407     )
408
409     lonticks = np.arange(-180, 180 + 1, 20)
410     latticks = np.arange(-90, 90 + 1, 20)
411     ax.gridlines(xlocs=lonticks, ylocs=latticks, crs=ccrs.PlateCarree())
412     ax.grid(linewidth=2, color="black", alpha=0.5, linestyle="--")
413
414     if colorbar:

```

```

415     plt.colorbar(sc)
416
417     if plot_measurement_points:
418         ax.scatter(
419             np.degrees(lons_meas_rad),
420             np.degrees(lats_meas_rad),
421             marker="o",
422             s=5.0,
423             alpha=0.9,
424             transform=ccrs.Geodetic(),
425             c="purple",
426         )
427
428     plt.savefig(
429         filename, transparent=transparent,
430         facecolor="white", bbox_inches="tight"
431     )
432     plt.close(fig)
433
434
435 def dB_to_hex_color(values, cmap, vmin, vmax):
436     norm = mpl.colors.Normalize(vmin=vmin, vmax=vmax)
437     colormap = plt.get_cmap(cmap)
438     mapped = colormap(norm(values))
439     rgb255 = np.round(mapped[:, :3] * 255)
440     vhex = np.vectorize(hex)
441     return vhex(
442         np.asarray(np.sum(rgb255 * np.array([256 ** 2, 256, 1]), axis=1)
443         , "int")
444     )

```

## B.2. Fő szkript

```
1 # final_generator.py
2
3 from generate_texture import create_textures
4 from generate_texture_freq import create_textures_freq
5 import warnings
6
7 kwargs = {
8     "cmap": "nipy_spectral",
9     "spatial_res_deg": 5,
10    "frequency_res_mhz": 50,
11    "gap_threshold_mhz": 50,
12    "los_distance_limit": 2100,
13    "icosahedral_mesh_refinement_level": 7,
14    "points_per_deg": 6,
15    "gauss_sigma_deg": 3,
16    "vmin": -105,
17    "vmax": -40,
18    "files": ["smogp_spa_1022.csv", "atl1_spa_1022.csv"],
19 }
20 warnings.filterwarnings("ignore", message="RuntimeWarning: invalid value
    encountered in true_divide")
21
22 print("Textúrák a teljes frekvencia-tartományra...")
23 create_textures(**kwargs)
24 print("Textúrák az egyes frekvencia-tartományokra...")
25 create_textures_freq(**kwargs)
```

## B.3. Általános textúrák generálása

```
1 # generate_texture.py
2
3 from rssi_processing import *
4
5
6 def create_textures(
7     files,
8     spatial_res_deg,
9     frequency_res_mhz,
10    gap_threshold_mhz,
11    los_distance_limit,
12    icosahedral_mesh_refinement_level,
13    points_per_deg,
14    gauss_sigma_deg,
15    vmin,
16    vmax,
17    cmap,
18 ):
19
20     # Előszűrés
21     mean_altitude, rssi_rounded = import_usable(
22         files,
23         spatial_res_deg=spatial_res_deg,
24         frequency_res_mhz=frequency_res_mhz
25     )
26
27     # RSSI-átlagolás
28     rssi_averaged = average_rounded_rssi(rssi_rounded)
29     print('RSSI-átlagolt adatsorok száma: {}'.format(len(rssi_averaged)))
30
31     # Exportálás a 3D-s térképhez
32     rssi_averaged_renamed = rssi_averaged.copy()
33     rssi_averaged_renamed.rename(
34         columns={"long": "X", "lat": "Y", "rssi": "Rssi"}, inplace=True
35     )
36
37     rssi_averaged_renamed["color"] = dB_to_hex_color(
38         rssi_averaged_renamed["Rssi"].values, cmap=cmap, vmin=vmin, vmax
39         =vmax
40     )
41     rssi_averaged_renamed.to_json("all_frequencies.json", orient="
42     records")
43
44     # Interpoláció
45     mesh = stripy.spherical_meshes.icosahedral_mesh(
46         refinement_levels=icosahedral_mesh_refinement_level,
47         include_face_points=True,
48         tree=True,
49     )
50
51     lons_rad = np.radians(rssi_averaged["long"].values)
52     lats_rad = np.radians(rssi_averaged["lat"].values)
53     rssi = rssi_averaged["rssi"].values
54
55     base_filename = "all_frequencies"
56     ### Ábrázolás ###
```

```

56 # Selected points
57 plot_mollweide(
58     lons_rad,
59     lats_rad,
60     rssi,
61     "mollweide_selected_" + base_filename + ".png",
62     cmap="Reds",
63     color_by_rssi=False,
64     s=2,
65     vmin=vmin,
66     vmax=vmax,
67 )
68 # IDW
69 rssi_idw_mesh = IDW_interpolate_rssi(
70     lons_rad, lats_rad, rssi, mesh, los_distance_limit=
71     los_distance_limit,
72     mean_altitude=mean_altitude
73 )
74 xi, yi, zi = plate_carree_interpolation(
75     mesh.lons,
76     mesh.lats,
77     rssi_idw_mesh,
78     points_per_deg=points_per_deg,
79     gauss_sigma_deg=gauss_sigma_deg,
80 )
81
82 plot_texture(
83     zi,
84     filename="textures/continous_" + base_filename + ".png",
85     cmap=cmap,
86     vmin=vmin,
87     vmax=vmax,
88 )
89
90 levels = np.arange(-120, -40 + 1, 5)
91
92 plot_contour_level_texture(
93     xi,
94     yi,
95     zi,
96     "textures/contour_labeled_" + base_filename + ".png",
97     vmin=vmin,
98     vmax=vmax,
99     cmap=cmap,
100    labels=True,
101    levels=levels,
102 )
103
104 plot_contour_level_texture(
105     xi,
106     yi,
107     zi,
108     "textures/contour_" + base_filename + ".png",
109     vmin=vmin,
110     vmax=vmax,
111     cmap=cmap,
112     labels=False,
113     levels=levels,

```

```
114 )
115
116 # Voronoi
117 gauss_sigma_deg = 0.1
118 rssi_voronoi_mesh = voronoi_rssi(lons_rad, lats_rad, rssi, mesh)
119 xi, yi, zi = plate_carree_interpolation(
120     mesh.lons,
121     mesh.lats,
122     rssi_voronoi_mesh,
123     points_per_deg=points_per_deg,
124     gauss_sigma_deg=gauss_sigma_deg,
125 )
126
127 plot_texture(
128     zi,
129     filename="textures/voronoi_" + base_filename + ".png",
130     cmap=cmap,
131     vmin=vmin,
132     vmax=vmax,
133 )
134 print("Done.")
```

## B.4. Frekvencia-tartományra vonatkozó textúrák generálása

```
1 # generate_texture_freq.py
2
3 from rssi_processing import *
4 import matplotlib as mpl
5 import itertools
6 from tqdm import tqdm
7
8
9 def create_textures_freq(
10     files,
11     spatial_res_deg,
12     frequency_res_mhz,
13     gap_threshold_mhz,
14     los_distance_limit,
15     icosahedral_mesh_refinement_level,
16     points_per_deg,
17     gauss_sigma_deg,
18     vmin,
19     vmax,
20     cmap,
21 ):
22     points_mollweide = False
23
24     # Colormap
25     norm = mpl.colors.Normalize(vmin=vmin, vmax=vmax)
26     colormap = plt.get_cmap(cmap)
27     colors_df = pd.DataFrame(columns=["value", "r", "g", "b", "a"])
28     for i in range(vmin, vmax + 1, 1):
29         r, g, b, a = colormap(norm(i))
30         colors_df = colors_df.append(
31             pd.Series(data={"value": i, "r": r, "g": g, "b": b, "a": a})
32         ,
33             ignore_index=True,
34         )
35     colors_df.to_csv("colormap.csv", header=True, index=False)
36
37     # Textúrák
38     # Előszűrés
39     mean_altitude, rssi_rounded = import_usable(
40         files, spatial_res_deg=spatial_res_deg, frequency_res_mhz=
41         frequency_res_mhz
42     )
43     rssi_freq_binned = pd.DataFrame(columns=["long", "lat", "rssi", "
44     freq_bin"])
45
46     # Minden kiválasztható kombinációra más textúra kell
47     freq_bins = list(
48         itertools.combinations(
49             [0, 100, 200, 300, 400, 500, 600, 700, 800, 900, 1000], 2
50         )
51     )
52     for lower, upper in tqdm(freq_bins):
53         rssi_filtered = rssi_rounded[
54             (lower <= rssi_rounded["freq_mhz"]) & (rssi_rounded["
55             freq_mhz"] <= upper)
56         ]
```



```

53     if rssi_filtered.empty:
54         print("{0}--{1}MHz empty".format(lower, upper))
55         continue
56
57     print("{0}--{1}MHz not empty".format(lower, upper))
58
59     # RSSI-átlagolás
60     rssi_averaged = average_rounded_rssi(
61         rssi_filtered, gap_threshold_mhz=gap_threshold_mhz
62     )
63
64     rssi_averaged["freq_bin_lower"] = np.ones(len(rssi_averaged)) *
lower
65     rssi_averaged["freq_bin_upper"] = np.ones(len(rssi_averaged)) *
upper
66     rssi_freq_binned = rssi_freq_binned.append(rssi_averaged)
67
68     # Interpoláció
69     mesh = stripy.spherical_meshes.icosahedral_mesh(
70         refinement_levels=icosahedral_mesh_refinement_level,
71         include_face_points=True,
72         tree=True,
73     )
74
75     lons_rad = np.radians(rssi_averaged["long"].values)
76     lats_rad = np.radians(rssi_averaged["lat"].values)
77     rssi = rssi_averaged["rssi"].values
78
79     base_filename = "{0:03d}-{1:03d}MHz".format(lower, upper)
80
81     # Selected points
82     if points_mollweide is True:
83         plot_mollweide(
84             lons_rad,
85             lats_rad,
86             rssi,
87             "mollweide_selected_" + base_filename + ".png",
88             cmap="Reds",
89             s=2,
90             vmin=vmin,
91             vmax=vmax,
92         )
93     # IDW
94     rssi_idw_mesh = IDW_interpolate_rssi(
95         lons_rad, lats_rad, rssi, mesh,
96         los_distance_limit=los_distance_limit,
97         mean_altitude=mean_altitude
98     )
99
100     xi, yi, zi = plate_carree_interpolation(
101         mesh.lons,
102         mesh.lats,
103         rssi_idw_mesh,
104         points_per_deg=points_per_deg,
105         gauss_sigma_deg=gauss_sigma_deg,
106     )
107     plot_texture(
108         zi,
109         filename="textures/continous_" + base_filename + ".png",

```

```

110         cmap=cmap,
111         vmin=vmin,
112         vmax=vmax,
113     )
114
115     levels = np.arange(-120, -40 + 1, 5)
116
117     plot_contour_level_texture(
118         xi,
119         yi,
120         zi,
121         "textures/contour_labeled_" + base_filename + ".png",
122         vmin=vmin,
123         vmax=vmax,
124         cmap=cmap,
125         labels=True,
126         levels=levels,
127     )
128
129     plot_contour_level_texture(
130         xi,
131         yi,
132         zi,
133         "textures/contour_" + base_filename + ".png",
134         vmin=vmin,
135         vmax=vmax,
136         cmap=cmap,
137         labels=False,
138         levels=levels,
139     )
140
141     # Voronoi
142     rssi_voronoi_mesh = voronoi_rssi(lons_rad, lats_rad, rssi, mesh)
143     xi, yi, zi = plate_carree_interpolation(
144         mesh.lons,
145         mesh.lats,
146         rssi_voronoi_mesh,
147         points_per_deg=points_per_deg,
148         gauss_sigma_deg=0.1,
149     )
150
151     plot_texture(
152         zi,
153         filename="textures/voronoi_" + base_filename + ".png",
154         cmap=cmap,
155         vmin=vmin,
156         vmax=vmax,
157     )
158     print("{0}-{1}MHz done.".format(lower, upper - 1))
159
160     # Értékek exportálása 3D-s térképhez
161     rssi_freq_binned.rename(
162         columns={"long": "X", "lat": "Y", "freq_bin": "Freq", "rssi": "
Rssi"},
163         inplace=True,
164     )
165     rssi_freq_binned["color"] = dB_to_hex_color(
166         rssi_freq_binned["Rssi"].values, cmap=cmap, vmin=vmin, vmax=vmax
167     )

```

```
rss_freq_binned.to_json("rss_binned.json", orient="records")
```

# C. függelék

## Weboldal

### C.1. Weboldal forráskódja

```
1 <html>
2   <head>
3     <link rel="shortcut icon" href="#" />
4     <meta charset=utf-8>
5     <title>Smog-P adatvizualizáció</title>
6     <link rel="stylesheet" href="css/multislider.css">
7     <link rel="stylesheet" href="css/overlays.css">
8     <style>
9     </style>
10  </head>
11
12  <body>
13    <div>
14      <div id="loading_div">
15        <div id="loading_text">Loading..</div>
16      </div>
17
18      <div id="overlay">
19        
20        <div id="text">
21          <p>Spectrum data from Hungarian <a href="http://gnd.bme.hu/
smog">SMOG-P nanosatellite</a>.</p>
22          <p>Visualization and data processing: Markotics Boldizsár and
Takács Donát, <a href="https://kozmosz.space/">BME Cosmos Society</a>
.</p>
23        </div>
24      </div>
25
26      <div id="jobbmenu">
27        <div class="placeholder" style="margin-top: 10px;">Globe and Points
</div>
28
29      <div class='gomb'>
30        <label>Globe Texture</label>
31        <select id='menuGlobemap'>
32          <option value='none'>None</option>
33          <option value='satellite'>Satellite</option>
34          <option value='coastlines_dark' selected="selected">Dark
coastlines</option>
```

```

35     <option value='coastlines_light'>Light coastlines</option>
36   </select>
37 </div>
38
39 <div class="gomb" id='menuTogglePoints'>
40   Hide measuring points
41 </div>
42
43 <div class="placeholder" style="margin-top: 10px;">Smog map</div>
44
45 <div class='gomb'>
46   <label>Smog Map Texture</label>
47   <select id='menuSmogMap'>
48     <option value='none'>None</option>
49     <option value='continous' selected="selected">Continous</
option>
50     <option value='contour'>Contour</option>
51     <option value='contour_labeled'>Labeled contour</option>
52     <option value='voronoi'>Voronoi</option>
53   </select>
54 </div>
55
56 <div class="gomb">
57   <label>Opacity</label>
58   <input type='range' id='menuOpacity'>
59 </div>
60
61 <div class="placeholder" style="margin-top: 10px;">Frequency filter
</div>
62
63 <div class="gomb">
64   <label>Frequency range (MHz)</label>
65   <div slider id="slider-distance">
66     <div>
67       <div inverse-left style="width:70%;"></div>
68       <div inverse-right style="width:70%;"></div>
69       <div range style="left:30%;right:40%;"></div>
70       <span thumb style="left:30%;"></span>
71       <span thumb style="left:60%;"></span>
72       <div sign style="left:30%;">
73         <span id="value">300</span>
74       </div>
75       <div sign style="left:60%;">
76         <span id="value">600</span>
77       </div>
78     </div>
79     <input id='menuLowFreqSlider' type="range" tabindex="0" value=
"30" max="100" min="0" step="1" oninput="
80       this.value=Math.min(this.value,this.parentNode.childNodes[5].
value-1);
81       var value=(100/(parseInt(this.max)-parseInt(this.min)))*
parseInt(this.value)-(100/(parseInt(this.max)-parseInt(this.min))*
parseInt(this.min);
82       var children = this.parentNode.childNodes[1].childNodes;
83       children[1].style.width=value+'%';
84       children[5].style.left=value+'%';
85       children[7].style.left=value+'%';children[11].style.left=value
+'%';
86       children[11].childNodes[1].innerHTML=this.value*10;" />

```

```

87
88     <input id='menuHighFreqSlider' type="range" tabindex="0" value
89     ="60" max="100" min="0" step="1" oninput="
90     this.value=Math.max(this.value,this.parentNode.childNodes[3].
91     value-(-1));
92     var value=(100/(parseInt(this.max)-parseInt(this.min)))*
93     parseInt(this.value)-(100/(parseInt(this.max)-parseInt(this.min))*
94     parseInt(this.min));
95     var children = this.parentNode.childNodes[1].childNodes;
96     children[3].style.width=(100-value)+'%';
97     children[5].style.right=(100-value)+'%';
98     children[9].style.left=value+'%';children[13].style.left=value
99     +'%';
100     children[13].childNodes[1].innerHTML=this.value*10;" />
101     </div>
102 </div>
103
104 <div class="placeholder"style="margin-top: 10px;">Movement</div>
105
106 <div class="gomb" id="menuRotation">
107     Stop rotation
108 </div>
109 </div>
110
111 <canvas id='globecanvas'></canvas>
112 <div id="labels"></div>
113 <script type="module">
114     var db_json;
115     function readTextFile(file, callback)
116     {
117         var rawFile = new XMLHttpRequest();
118         rawFile.overrideMimeType("application/json");
119         rawFile.open("GET",file, false);
120         rawFile.onreadystatechange = function(){
121             if(rawFile.readyState === 4 && rawFile.status == "200"){
122                 callback(rawFile.responseText);
123             }
124         }
125         rawFile.send(null);
126     }
127     readTextFile("./db.json",function(text){
128         var tacsi = JSON.parse(text);
129         db_json =tacsi;
130     });
131
132     import * as THREE from './node_modules/three/build/three.module.
133     js';
134     import { OrbitControls } from './node_modules/three/examples/jsm
135     /controls/OrbitControls.js';
136
137     //Föld sugara
138     const EarthRadius = 300;
139     //műhold keringésének átlagos sugara
140     const SateliteRadius = 320;
141     //mérőpont sugara
142     const MeasPointRadius = 2;
143     //kamera magasság

```

```

139     const CameraHeight = 800;
140     //Földgömb felbontás
141     const EarthRes = 40;
142     //mérőpont felbontás
143     const MeasPointRes = 5;
144     //mérőpont átlátszóság
145     const golyo_opacity = 1;
146     //smog átlátszóság
147     const smog_opacity=0.6;
148
149     var ObjGroup = new THREE.Group();
150     var golyotomb = new THREE.Group();
151     var Earth = new THREE.Layers();
152     Earth = 1;
153     var SmogMap = new THREE.Layers();
154     SmogMap = 2;
155     var SmogPoint = new THREE.Layers();
156     SmogPoint = 3;
157
158     var scene, renderer, foldgeom, foldtexture, foldmaterial, foldglobe
, smoggeom, smogtexture, smogmaterial, smogglobe;
159     let camera = new THREE.PerspectiveCamera( 75, window.innerWidth/
window.innerHeight, 0.1, 1000 );
160     var SmogPointArray = [];
161
162     //menü állapot változók
163     var Forgas=true;
164     var PointsOn=true;
165     var minFreq=300;
166     var maxFreq=600;
167     var SmogMap = document.getElementById("menuSmogMap").value;;
168     var GlobeMap;
169     var DBsorted=editdb();
170
171     //Eventek
172     document.getElementById("menuOpacity").addEventListener("input",
OpacityEvent);
173     document.getElementById("menuRotation").addEventListener("click"
, MenuRotationEvent);
174     document.getElementById("menuSmogMap").addEventListener("change"
, SmogMapEvent);
175     document.getElementById("menuGlobemap").addEventListener("change
", GlobeMapEvent);
176     document.getElementById("menuTogglePoints").addEventListener("
click", MenuTogglePointsEvent);
177     document.getElementById("menuLowFreqSlider").addEventListener("
change", LowFreqEvent);
178     document.getElementById("menuHighFreqSlider").addEventListener("
change", HighFreqEvent);
179
180     function LowFreqEvent()
181     {
182         minFreq=document.getElementById("menuLowFreqSlider").value*10;
183         DBsorted=editdb();
184         NewDataToGlobe();
185         SmogMapEvent();
186         return minFreq;
187     }
188

```

```

189     function HighFreqEvent()
190     {
191         maxFreq=document.getElementById("menuHighFreqSlider").value
*10;
192         DBsorted=editdb();
193         NewDataToGlobe();
194         SmogMapEvent();
195         return maxFreq;
196     }
197
198     function OpacityEvent()
199     {
200         smogglobe.material.opacity=(document.getElementById("
menuOpacity").value)/100;
201     }
202
203     function MenuRotationEvent()
204     {
205         if(!Forgas) document.getElementById("menuRotation").innerHTML
='Stop rotation';
206         else document.getElementById("menuRotation").innerHTML='Start
rotation';
207         Forgas=!Forgas;
208     }
209
210     function SmogMapEvent()
211     {
212         SmogMap=document.getElementById("menuSmogMap").value;
213         if(SmogMap=='none')
214             {
215                 camera.layers.disable(SmogMap);
216                 smogglobe.material.opacity=0;
217             }
218         else
219             {
220                 camera.layers.enable(SmogMap);
221                 ChangeTexture(SmogMap, Math.round(minFreq/100)*100 ,Math.
round(maxFreq/100)*100);
222                 OpacityEvent();
223             }
224     }
225
226     function GlobeMapEvent()
227     {
228         GlobeMap=document.getElementById("menuGlobemap").value
229         if(GlobeMap=='none')
230             {
231                 camera.layers.disable(Earth);
232             }
233         else
234             {
235                 camera.layers.enable(Earth);
236                 ChangeTexture_world(GlobeMap);
237             }
238     }
239
240     function MenuTogglePointsEvent()
241     {
242         if(!PointsOn) {

```



```

243     document.getElementById("menuTogglePoints").innerHTML='Show
measuring points';
244     camera.layers.enable(SmogPoint);
245 }
246 else{
247     document.getElementById("menuTogglePoints").innerHTML='Hide
measuring points';
248     camera.layers.disable(SmogPoint);
249 }
250     PointsOn=!PointsOn;
251 }
252
253     init();
254     NewDataToGlobe();
255     animate();
256
257     function editdb()
258     {
259         var sorteddb = new Array();
260         for(var i=0; i<db_json.length;i++){
261             if(db_json[i].freq_bin_lower == Math.round(minFreq/100)
*100 && db_json[i].freq_bin_upper == Math.round(maxFreq/100)*100){
262                 sorteddb.push(db_json[i]);
263             }
264         }
265         return sorteddb;
266     }
267
268     function SiteLoaded(){
269         document.getElementById("loading_div").style.display = "none";
270     }
271
272     function ChangeTexture_world(newTexture)
273     {
274         ObjGroup.remove(foldglobe);
275
276         foldtexture =new THREE.TextureLoader().load('textures/'+
newTexture+'.png');
277         foldmaterial = new THREE.MeshBasicMaterial( {map: foldtexture
});
278
279         foldglobe = new THREE.Mesh( foldgeom, foldmaterial);
280         foldglobe.layers.set(Earth);
281         ObjGroup.add( foldglobe );
282         scene.add(ObjGroup);
283         render();
284     }
285
286     function ChangeTexture(newTexture, min_freq=300, max_freq=600)
287     {
288         ObjGroup.remove(smogglobe);
289         if(min_freq==0)min_freq='000';
290         smogtexture =new THREE.TextureLoader().load('textures/
smog_texture/'+newTexture+'_'+min_freq+'-'+max_freq+'MHz'+'.png');
291         smogmaterial = new THREE.MeshBasicMaterial( {map: smogtexture,
opacity: smog_opacity, transparent: true});
292         smogglobe = new THREE.Mesh( smoggeom, smogmaterial);
293         smogglobe.layers.set(SmogMap);
294         ObjGroup.add( smogglobe );

```

```

295     scene.add(ObjGroup);
296     render();
297 }
298
299 function NewDataToGlobe()
300 {
301     if(SmogPointArray!= null)
302     {
303         for(var i=0;i<SmogPointArray.length;i++)
304         {
305             ObjGroup.remove( SmogPointArray[i]);
306             SmogPointArray[i].geometry.dispose();
307             SmogPointArray[i].material.dispose();
308         }
309         SmogPointArray=[];
310     }
311
312     for(var i=0;i<DBsorted.length;i++)
313     {
314         var aktcolor =0xfffff;
315         aktcolor=DBsorted[i].color;
316         var hexcol = new THREE.Color(parseInt(aktcolor, 16));
317         var tombgolygeom = new THREE.SphereGeometry(MeasPointRadius,
MeasPointRes, MeasPointRes);
318         var tombgolyotexture = new THREE.MeshBasicMaterial( {color:
hexcol } );
319         var tombgolyo =new THREE.Mesh(tombgolygeom,tombgolyotexture)
;
320         tombgolyo.material.transparent= true;
321         tombgolyo.material.opacity=golyo_opacity;
322
323         //Szög Setup
324         var lng= DBsorted[i].Y;
325         var lat= DBsorted[i].X;
326
327         var phi    = (90-lat)*(Math.PI/180)+Math.PI/2;
328         var theta = (lng+180)*(Math.PI/180);
329
330         var r = SateliteRadius+5;
331         tombgolyo.position.x = r * Math.cos(theta) * Math.cos(phi);
332         tombgolyo.position.y = -r * Math.sin(theta);
333         tombgolyo.position.z = r * Math.cos(theta) * Math.sin(phi);
334
335         SmogPointArray.push(tombgolyo);
336     }
337     for(var i=0; i<SmogPointArray.length;i++)
338     {
339         ObjGroup.add( SmogPointArray[i] );
340         SmogPointArray[i].layers.set(SmogPoint);
341     }
342 }
343
344 function init()
345 {
346     scene = new THREE.Scene();
347
348     //Kezdőállapotok
349     camera.layers.enable(Earth);
350     camera.layers.enable(SmogMap);

```

```

351     renderer = new THREE.WebGLRenderer({canvas: globecanvas, alpha
: true , antialias: true});
352     renderer.setSize( window.innerWidth, window.innerHeight );
353     document.body.appendChild( renderer.domElement );
354
355     //Orbit
356     var controls = new OrbitControls( camera, renderer.domElement
);
357     controls.enablePan= false;
358     controls.enableDamping = true;
359     controls.dampingFactor = 0.1;
360     controls.rotateSpeed = 0.3;
361     controls.enableZoom = true;
362     controls.zoomSpeed = 0.1;
363     controls.minDistance = SateliteRadius*1.2;
364     controls.maxDistance = CameraHeight;
365     controls.maxPolarAngle = Math.PI ;
366
367     //Földgömb
368     foldgeom = new THREE.SphereGeometry(EarthRadius, EarthRes,
EarthRes);
369     foldtexture =new THREE.TextureLoader().load('textures/
coastlines_dark.png');
370     foldmaterial = new THREE.MeshBasicMaterial( {map: foldtexture
});
371     foldglobe = new THREE.Mesh( foldgeom, foldmaterial);
372     foldglobe.name="foldgomb";
373     foldglobe.layers.set(Earth);
374     ObjGroup.add( foldglobe );
375
376     //Elektrosmog
377     smoggeom = new THREE.SphereGeometry(SateliteRadius, EarthRes,
EarthRes);
378     smogtexture =new THREE.TextureLoader().load('textures/
smog_texture/continous_300-600MHz.png');
379     smogmaterial = new THREE.MeshBasicMaterial( {map: smogtexture,
opacity: smog_opacity, transparent: true});
380     smogglobe = new THREE.Mesh( smoggeom, smogmaterial );
381     smogglobe.layers.set(SmogMap);
382     camera.layers.enable(SmogPoint);
383     ObjGroup.add( smogglobe );
384
385     //Scene
386     scene.add(ObjGroup);
387     camera.position.z = CameraHeight;
388
389     window.addEventListener( 'resize', onWindowResize, false );
390     SiteLoaded();
391 }
392
393 function animate()
394 {
395     requestAnimationFrame( animate );
396     render();
397 };
398
399 function render()
400 {
401     if(Forgas)

```

```
402     ObjGroup.rotation.y += 0.001;
403     renderer.render( scene, camera );
404 }
405
406 function onWindowResize()
407 {
408     camera.aspect = window.innerWidth / window.innerHeight;
409     camera.updateProjectionMatrix();
410     renderer.setSize( window.innerWidth, window.innerHeight );
411 }
412
413     document.getElementById("loading_div").style.display = "none";
414 </script>
415 </div>
416 </body>
417
418 </html>
```

## C.2. Weboldalhoz tartozó stíluslapok

```
1 [slider] {
2   position: relative;
3   height: 8px;
4   border-radius: 8px;
5   text-align: left;
6   margin: 45px 0 10px 0;
7 }
8
9 [slider] > div {
10  position: absolute;
11  left: 13px;
12  right: 15px;
13  height: 8px;
14 }
15
16 [slider] > div > [inverse-left] {
17  position: absolute;
18  left: 0;
19  height: 8px;
20  border-radius: 8px;
21  background-color: #CCC;
22  margin: 0 7px;
23 }
24
25 [slider] > div > [inverse-right] {
26  position: absolute;
27  right: 0;
28  height: 8px;
29  border-radius: 8px;
30  background-color: #CCC;
31  margin: 0 7px;
32 }
33
34 [slider] > div > [range] {
35  position: absolute;
36  left: 0;
37  height: 8px;
38  border-radius: 8px;
39  background-color: #0551ff;
40 }
41 [slider] > div > [range]:hover {
42  background-color: #0041cb;
43 }
44
45 [slider] > div > [thumb] {
46  position: absolute;
47  top: -3px;
48  z-index: 3;
49  height: 14px;
50  width: 14px;
51  text-align: left;
52  margin-left: -11px;
53  cursor: pointer;
54  box-shadow: 0 3px 8px rgba(0, 0, 0, 0.4);
55  background-color: #FFF;
56  border-radius: 50%;
57  outline: none;
58 }
```

```

59
60 [slider] > input[type=range] {
61     position: absolute;
62     pointer-events: none;
63     -webkit-appearance: none;
64     z-index: 4;
65     height: 8px;
66     top: -2px;
67     width: 100%;
68     -ms-filter: "progid:DXImageTransform.Microsoft.Alpha(Opacity=0)";
69     filter: alpha(opacity=0);
70     -moz-opacity: 0;
71     -khtml-opacity: 0;
72     opacity: 0;
73 }
74
75 div[slider] > input[type=range]::-ms-track {
76     -webkit-appearance: none;
77     background: transparent;
78     color: transparent;
79 }
80
81 div[slider] > input[type=range]::-moz-range-track {
82     -moz-appearance: none;
83     background: transparent;
84     color: transparent;
85 }
86
87 div[slider] > input[type=range]:focus::-webkit-slider-runnable-track {
88     background: transparent;
89     border: transparent;
90 }
91
92 div[slider] > input[type=range]:focus {
93     outline: none;
94 }
95
96 div[slider] > input[type=range]::-ms-thumb {
97     pointer-events: all;
98     width: 28px;
99     height: 28px;
100     border-radius: 0px;
101     border: 0 none;
102     background: red;
103 }
104
105 div[slider] > input[type=range]::-moz-range-thumb {
106     pointer-events: all;
107     width: 28px;
108     height: 28px;
109     border-radius: 0px;
110     border: 0 none;
111     background: red;
112 }
113
114 div[slider] > input[type=range]::-webkit-slider-thumb {
115     pointer-events: all;
116     width: 28px;
117     height: 28px;

```

```

118     border-radius: 0px;
119     border: 0 none;
120     background: red;
121     -webkit-appearance: none;
122 }
123
124 div[slider] > input[type=range]::-ms-fill-lower {
125     background: transparent;
126     border: 0 none;
127 }
128
129 div[slider] > input[type=range]::-ms-fill-upper {
130     background: transparent;
131     border: 0 none;
132 }
133
134 div[slider] > input[type=range]::-ms-tooltip {
135     display: none;
136 }
137
138 [slider] > div > [sign] {
139     position: absolute;
140     margin-left: -18px;
141     top: -39px;
142     z-index:4;
143     background-color: #0551ff;
144     color: #fff;
145     width: 28px;
146     height: 28px;
147     border-radius: 28px;
148     -webkit-border-radius: 28px;
149     align-items: center;
150     -webkit-justify-content: center;
151     justify-content: center;
152     text-align: center;
153 }
154
155 [slider] > div > [sign]:after {
156     position: absolute;
157     content: '';
158     left: 0;
159     border-radius: 16px;
160     top: 19px;
161     border-left: 14px solid transparent;
162     border-right: 14px solid transparent;
163     border-top-width: 16px;
164     border-top-style: solid;
165     border-top-color: #0551ff;
166 }
167
168 [slider] > div > [sign] > span {
169     font-size: 12px;
170     font-weight: 700;
171     line-height: 28px;
172 }

```

```

1 html{
2   font: 11px 'Lucida Grande', sans-serif;
3   font-style: normal;
4   font-variant-ligatures: normal;
5   font-variant-caps: normal;
6   font-variant-numeric: normal;
7   font-variant-east-asian: normal;
8   font-weight: normal;
9   font-stretch: normal;
10  font-size: 11px;
11  line-height: normal;
12  font-family: "Lucida Grande", sans-serif;
13  color: white;
14 }
15
16 body{
17   margin: 0;
18   background-color: black;
19   background-size: cover;
20   overflow-x: hidden;
21 }
22
23 #globecanvas{
24   display: block;
25 }
26
27 #renderdiv{
28   position: relative;
29   width: 100vw;
30   height: 100vh;
31   overflow: hidden;
32 }
33
34 #labels{
35   position: absolute;
36   left: 0;
37   top: 0;
38   color: white;
39 }
40
41 #labels>div{
42   position: absolute;
43   left: 0;
44   top: 0;
45   cursor: pointer;
46   font-size: large;
47   user-select: none;
48   text-shadow:
49     -1px -1px 0 #000,
50     0 -1px 0 #000,
51     1px -1px 0 #000,
52     1px 0 0 #000,
53     1px 1px 0 #000,
54     0 1px 0 #000,
55     -1px 1px 0 #000,
56     -1px 0 0 #000;
57 }
58 #labels>div:hover{
59   color: red;

```



```

60 }
61
62 #overlay{
63     position: fixed;
64     display: block;
65     width: 250px;
66     height: auto;
67     left: 10px;
68     bottom: 10px;
69     background-color: rgba(100,100,100,0.5);
70     z-index: 2;
71     border-radius: 10px;
72 }
73
74 #text{
75     padding: 10px;
76 }
77
78 #legend_pic{
79     display: block;
80     padding: 10px;
81     padding-left: 40px;
82     padding-bottom: 0;
83     max-width: 100%;
84     height: auto;
85 }
86
87 a{
88     color:lightgray;
89 }
90
91 #loading_text{
92     position: absolute;
93     top: 50%;
94     left: 50%;
95     font-size: 50px;
96     color: white;
97     transform: translate(-50%,-50%);
98     -ms-transform: translate(-50%,-50%);
99     font-family: "Lucida Grande", sans-serif;
100 }
101
102 #loading_div{
103     position: fixed;
104     display: block;
105     width: 100%;
106     height: 100%;
107     top: 0;
108     left: 0;
109     right: 0;
110     bottom: 0;
111     background-color: rgba(0,0,0,0.5);
112     z-index: 3;
113     cursor: pointer;
114 }
115
116 #jobbmenu{
117     position: fixed;
118     display: block;

```

```
119 width: 250px;
120 height: auto;
121 right: 10px;
122 top: 10px;
123 background-color: rgba(100,100,100,0.25);
124 z-index: 3;
125 border-radius: 10px;
126 }
127
128
129 .gomb{
130 width: 220px;
131 border: none;
132 outline: none;
133 cursor: pointer;
134 padding: 10px;
135 margin: 5px;
136 border-radius: 5px;
137 right:0px;
138 background-color: rgba(100,100,100,0.5);
139 }
140
141 .gomb:hover{
142 background-color: rgba(100,100,100,0.7);
143 }
144
145 .gomb select{
146 border: none;
147 cursor: pointer;
148 color: white;
149 background: inherit;
150 font: inherit;
151 }
152
153 .placeholder{
154 width: 238px;
155 background-color: black;
156 padding: 5px;
157 margin: 1px;
158 }
159 label{
160 width:115px;
161 }
```